

**GRAF ENERJİSİ**

**Feriha ÇELİK**



T. C.  
BURSA ULUDAĞ ÜNİVERSİTESİ  
FEN BİLİMLERİ ENSTİTÜSÜ

**GRAF ENERJİSİ**

**Feriha ÇELİK**  
**0000-0002-0791-9293**

Prof. Dr. İsmail Naci CANGÜL  
(Danışman)

DOKTORA TEZİ  
MATEMATİK ANABİLİM DALI

BURSA-2021

**Her Hakkı Saklıdır**



## ÖZET

Doktora Tezi

GRAF ENERJİSİ

**Feriha ÇELİK**

Bursa Uludağ Üniversitesi  
Fen Bilimleri Enstitüsü  
Matematik Anabilim Dalı

**Danışman:** Prof. Dr. İsmail Naci CANGÜL (Bursa Uludağ Üniversitesi)

Bu çalışmanın amacı, graf teorisinin en önemli uygulama alanlarından birisi olan graf enerjisi konusunda yeni sonuçlar elde etmektir. Graf enerjisi, son 40 yılda ortaya çıkan ve hızla gelişen bir alandır ve lineer cebir metodlarını kullanarak graflar hakkında matematiksel sonuçlar elde etmeye ve bu sonuçlar yardımıyla kimyasal moleküllerin enerjileri hakkında yeni sonuçlar elde etmeye yarar.

Bu tez sekiz bölümden oluşmaktadır. Birinci bölüm giriş bölümü olarak düzenlenmiştir. Temel tanım ve sonraki bölümlerde kullanılacak bazı önemli kavram ve sonuçlar bu bölümde hatırlatılmıştır. İkinci bölümde graflar ve grafların enerjileri hakkında kuramsal temellerinden bahsedilmiştir. Üçüncü bölümde tez boyunca kullanılacak olan materyal ve yöntemler hakkında bilgi verilmiştir. Dördüncü bölümde bazı özel graf türleri için spektral polinomlar oluşturulmuş, oluşturulan bu polinomlar için indirgeme bağıntıları geliştirilip bu grafların enerjilerini veren formüller elde edilmiştir. Beşinci bölümde ise, dördüncü bölümde oluşturulan enerji formülleri için indirgeme bağıntıları oluşturulmuş bunun yanında hesaplamaları kolaylaştıracak bazı alternatif enerji indirgeme bağıntıları da verilmiştir. Altıncı bölümde graflar üzerinde yeni birleşim operasyonları, yedinci bölümde ise bir graf için alt bölüm operasyonları tanımlanmış olup bu bölümlerde, elde edilen yeni graflar için grafların polinomlarını, polinomlar için indirgeme bağıntılarını ve grafların enerjilerini veren yeni yöntemler geliştirilmiştir. Son bölüm olan sekizinci bölümde ise elde edilen bulgu ve sonuçlara yer verilmiştir.

**Anahtar Kelimeler:** alt bölüm grafi, enerji, graf, köşe birleşim grafi, spektral polinom, spektrum

**2021, vi + 79 sayfa.**

## ABSTRACT

PhD Thesis

## GRAPH ENERGY

**Feriha ÇELİK**

Bursa Uludağ University  
Graduate School of Natural and Applied Sciences  
Department of Mathematics

**Supervisor:** Prof. Dr. Ismail Naci CANGUL (Bursa Uludag University)

The aim of this work is to obtain new and original results on graph energy which is one of the most important application areas of graph theory. Graph energy appeared and fastly developed in the last 40 years. By means of linear algebraic methods, we can obtain mathematical values on the graphs and these values help us to comment on the molecular energies of the molecules under study.

This PhD thesis consists of 6 chapters. The first section is organized as the Introduction. Fundamental notions and results which will be needed later on in the thesis are recalled here. In the second chapter, the material and methods used in the thesis are mentioned. In the third chapter, spectral polynomials of some specific graph classes are constructed and recurrence relations for these polynomials are obtained to find some formulae for the energy of these graph classes. In the fourth chapter, recurrence relations for the energy formulae obtained in the third chapter are established and some alternative energy recurrence relations to ease the calculations are given. In the fifth chapter, some new union operations on graphs, in the sixth chapter, subdivision operations for a graph are introduced and in these chapters, new techniques giving the spectral polynomials, their recurrence formulae and graph energy are established.

**Key Words:** energy, graph, spectral polynomial, spectrum, subdivision graph, vertex union graph

**2021, vi + 79 pages.**

## ÖNSÖZ VE TEŞEKKÜR

Tanıdığım günden bu yana değerli bilgileri ile yoluma ışık olan, bu çalışmanın başından itibaren planlanmasında, yürütülmesinde ve oluşumunda ilgi ve desteğini hiçbir zaman esirgemeyen, her konuda çekinmeden fikrine başvurabildiğim, engin bilgi ve tecrübelerinden yararlandığım, meslek hayatımda da en büyük rol model aldığım saygıdeğer hocam Prof. Dr. İsmail Naci CANGÜL'e;

hayatımın her evresinde benim yanımda olan, bana olan maddi ve manevi desteklerini hiçbir zaman esirgemeyen, saygı ve sevgi kelimelerinin anlamlarını yaşayarak öğreten hayattaki en büyük şansım olan aileme

sonsuz teşekkürler...

Feriha ÇELİK

14/10/2021

## İÇİNDEKİLER

### Sayfa

ÖZET .....	i
ABSTRACT .....	ii
ÖNSÖZ VE TEŞEKKÜR .....	iii
İÇİNDEKİLER .....	iv
SİMGELER DİZİNİ .....	v
ŞEKİLLER DİZİNİ .....	vi
1. GİRİŞ .....	1
2. KURAMSAL TEMELLER.....	9
3. MATERYAL VE YÖNTEM .....	10
4. GRAFLARIN SPEKTRAL POLİNOMLARI, İNDİRGEME BAĞINTILARI ve ENERJİLERİ.....	11
5. GRAFLARDA ENERJİ İNDİRGEME BAĞINTILARI.....	29
6. GRAFLARDA BİRLEŞİM ve BİRLEŞİMİN KARAKTERİSTİK POLİNOM ÜZERİNDEKİ ETKİSİ .....	40
7. ALT BÖLÜM GRAFLARININ KARAKTERİSTİK POLİNOMLARI, İNDİRGEME BAĞINTILARI VE ENERJİLERİ.....	63
8. BULGULAR, TARTIŞMA VE SONUÇ.....	75
KAYNAKLAR.....	77
ÖZGEÇMİŞ.....	79

## SİMGELER DİZİNİ

### Simgeler

### Açıklama

$G$	Graf
$V(G)$	$G$ grafinin köşe kümesi
$E(G)$	$G$ grafinin kenar kümesi
$d(u)$	$u$ köşesinin derecesi
$K_n$	$n$ köşeli tam graf
$C_n$	$n$ köşeli devir grafi
$P_n$	$n$ köşeli yol grafi
$S_n$	$n$ köşeli yıldız grafi
$K_{r,s}$	İki parçalı tam graf
$Pol(G)$	$G$ grafinin karakteristik polinomu
$S(G)$	$G$ grafinin spektrumu
$E(G)$	$G$ grafinin enerjisi
$G_1 \vee_v G_2$	$G_1$ ve $G_2$ graflarının köşe birleşim grafi
$G_1 \vee_v^e G_2$	$G_1$ ve $G_2$ graflarının bir köşede kenar birleşim grafi
$S(G)$	$G$ grafinin alt bölüm grafi
$S^r(G)$	$G$ grafinin $r$ -alt bölüm grafi



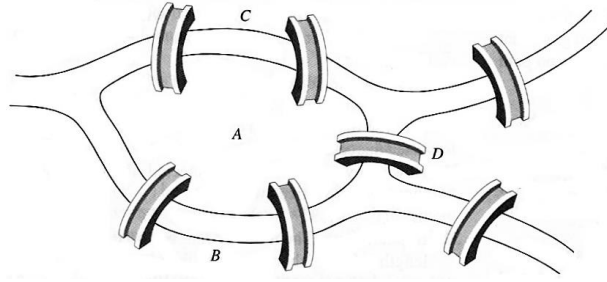
## ŞEKİLLER DİZİNİ

Şekil 1.1. Pregel Nehri .....	1
Şekil 1.2. Königsberg grafi .....	1
Şekil 1.3. 7 köşeli ve 10 kenarlı graf örneği.....	2
Şekil 1.4. Basit bir graf.....	3
Şekil 1.5. Basit olmayan bir graf.....	3
Şekil 1.6. Basit olmayan bir graf.....	3
Şekil 1.7. $G$ ve $\bar{G}$ grafları.....	4
Şekil 1.8. 2 –düzenli graf .....	4
Şekil 1.9. Bir $G$ grafi ve bu grafa ait $A$ komşuluk matrisi.....	5
Şekil 1.10. $P_5$ patika grafi.....	6
Şekil 1.11. $C_3, C_4, C_5$ devir grafları.....	6
Şekil 1.12. $S_6$ yıldız grafi.....	7
Şekil 1.13. $K_3, K_4, K_5$ tam grafları.....	7
Şekil 1.14. $K_{2,3}$ ve $K_{3,3}$ iki parçalı tam grafi.....	8
Şekil 1.15. Bağlantılı graf örnekleri.....	8
Şekil 1.16. Bağlantısız graf örnekleri.....	8
Şekil 6.1. $G_1, G_2$ ve $G_1 \vee_v G_2$ köşe birleşim grafi .....	41
Şekil 6.2. $K_5$ ve $K_5 \vee_v K_5$ köşe birleşim grafi .....	42
Şekil 6.3. $S_n$ ve $S_n$ graflarında merkez köşe birleşim grafi .....	48
Şekil 6.4. $S_n$ ve $S_n$ grafları için merkez dışında köşe birleşim grafi.....	49
Şekil 6.5. $P_n$ ve $P_n \vee_v P_n$ köşe birleşim grafi .....	53
Şekil 6.6. $G_1, G_2$ ve $G_1 \vee_v^e G_2$ grafları .....	54
Şekil 6.7. $K_5$ ve $K_5 \vee_v^e K_5$ grafi .....	55
Şekil 6.8. $S_n$ ile $v$ merkez köşede kenar birleşim grafi $S_n \vee_v^e S_n$ .....	59
Şekil 6.9. $S_n$ ve $v$ uç köşede kenar birleşim grafi $S_n \vee_v^e S_n$ .....	60
Şekil 6.10. $P_n$ ve $P_n \vee_v^e P_n$ grafi.....	62
Şekil 7.1. Bir $G$ grafi ve bu grafin $S(G)$ alt bölüm grafi.....	63
Şekil 7.2. $P_n$ ve $S(P_n)$ grafi.....	64
Şekil 7.3. $S_n$ ve $S_n$ 'in alt bölüm grafi $S(S_n)$ .....	65

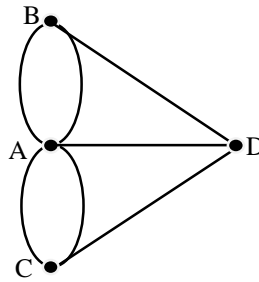
## 1. GİRİŞ

Graf Teori, 1736 yılında ünlü matematikçi Leonhard Euler'in (1707-1783) yazdığı "Königsberg Köprü Problemi" adlı makale ile ortaya atıldığı düşünülse de literatürdeki bazı kaynaklar Graf Teorinin ilk bilinen örneklerinin Pisagor okuluna kadar uzandığını göstermektedir (M.Ö. 300).

Königsberg kasabasının içinden akan Pregel nehrinin ortasında Şekil 1.1.'deki gibi bir ada ve bir yarımada bulunmaktadır. Bu adayı ve yarımadaı birbirine ve kıyılara bağlayan köprüleri birer kez kullanma koşulu ile, başlanılan yere geri dönebilmeyi amaçlayan bir problem ortaya atılmış ve çözümü yıllarca tartışılmıştır. Leonhard Euler (1707-1783) tarafından yayınlanan bir makalede, yıllarca tartışılan bu Königsberg Köprü Probleminin bir çözümünün olmadığını gösteren bir teori yer almaktadır.



Şekil 1.1. Pregel nehri



Şekil 1.2. Königsberg grafi

Graflar günlük hayatta karşılaşılan pek çok problemin birer matematiksel modellemesi olup matematiğin çeşitli alanlarında var olan teorileri kullanarak üzerinde çalışılan problemlerin çözümlerinde daha kolay fikir yürütebilmeye olanak tanır. Günümüzde

graflara birçok bilim dalında sıklıkla başvurulmakta ve birçok problemin çözümünde graflar kullanılmaktadır. Bunlar arasında graflara başvuru bazı problemler, kimyasal atom ve moleküller, dört renk problemi, pazarlamacı problemi, tesisat problemi, birçok , optimizasyon problemleri, kişi-toplum arası ilişkileri inceleyen problemlerdir.

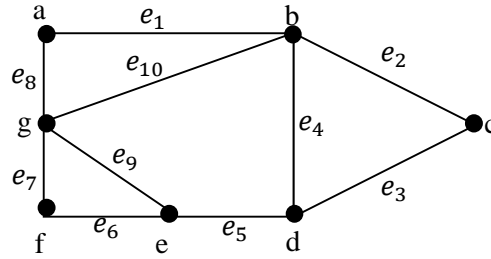
Aşağıda bu tezde kullanılacak olan bazı temel kavramlar tanımlanacaktır. Bu kavramlarla ilgili daha geniş bilgi için Chen (1976), Biggs ve ark. (1986), Foulds (1992), Harary (1994), West (1996), Bollobas (1998), Berge (2001), Golumbic ve Hartman (2005), Bondy ve Murty (2008), Harris ve ark. (2008), Balakrishnan ve Ranganathan (2012), Çevik (2010) kaynaklarına başvurulabilir.

**1.1. Tanım.** *Köşe (vertex)* denilen elemanlardan oluşan bir küme ile adına *kenar (edge)* denilen, her biri iki köşeyi birleştiren, elemanlardan oluşan ikinci bir kümenin elemanlarının oluşturduğu sıralı ikililer kümesine bir *graf (graph)* denir.

Bir  $G$  grafını çizebilmek için grafın köşelerinden oluşan  $V(G)$  kümesi ile bu köşelerin birleştirilmesiyle oluşan  $E(G)$  kenarların kümesini bilmek gerekir. Bilinen bu kümeler ile  $G$  grafi

$$G=(V(G),E(G))$$

şeklinde gösterilir. Biz bu grafi  $G(V, E)$  ile göstereceğiz.



**Şekil 1.3.** 7 köşeli ve 10 kenarlı bir graf örneği

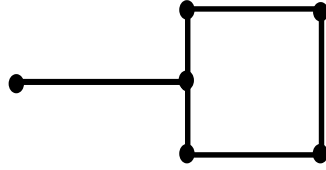
Şekil 1.3.'de verilen graf örneğinin köşe kümesi  $V(G) = \{a, b, c, d, e, f, g\}$  ve kenar kümesi  $E(G) = \{e_1, e_2, e_3, e_4, e_5, e_6, e_7, e_8, e_9, e_{10}\}$ 'dir.

**1.2. Tanım.**  $V(G)$  kümesinin eleman sayısına *mertebe (order)*,  $E(G)$  kümesinin eleman sayısına ise *boyut (size)* denir.

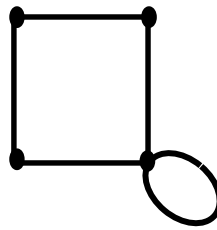
**1.3. Tanım.** Bir  $G$  grafında bir  $u$  köşesini uç kabul eden tüm kenarların sayısına bu  $u$  köşesinin *derecesi (degree)* denir ve  $deg(u)$  ile gösterilir. Örneğin Şekil 1.3.'de  $deg(a) = 2$  ve  $deg(b) = 4$ 'tür.

**1.4. Tanım.** Başlangıç ve bitiş köşeleri aynı olan bir kenara *döngü (loop)* adı verilir.

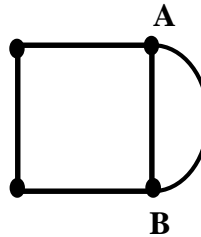
**1.5. Tanım.** Herhangi iki köşesi arasında birden fazla kenara sahip olmayan ve döngü içermeyen graflara *basit (simple) graf* denir.



Şekil 1.4. Basit bir graf



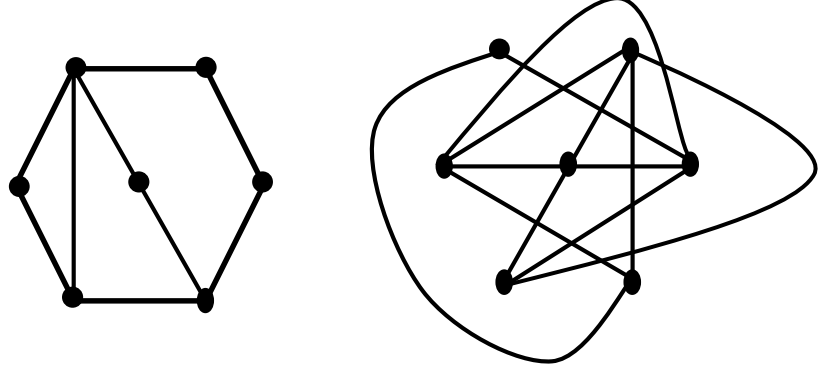
Şekil 1.5. Basit olmayan bir graf



Şekil 1.6. Basit olmayan bir graf

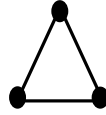
Yukarıda verilen Şekil 1.4.'deki graf basit graf iken, Şekil 1.5.'teki graf, içerdiği döngüden dolayı basit graf değildir. Şekil 1.6.'daki grafta da  $A$  ile  $B$  köşeleri arasında iki kenar bulunduğu için basit graf değildir.

**1.6. Tanım.** Bir  $G$  grafında  $\forall u, v \in V(G)$  için  $uv \notin E(G)$  olacak şekildeki  $uv$  kenarlarının oluşturduğu grafa **tümleyen (complement) graf** denir ve  $\bar{G}$  ile gösterilir.



Şekil 1.7.  $G$  ve  $\bar{G}$  grafları

**1.7. Tanım.** Bir  $G$  grafında  $\forall u \in V(G)$  için tüm  $deg(v)$  değerleri eşit ise bu grafa **düzenli (regular) graf** denir. Eğer  $deg(v) = n$  ise grafa  **$n$ -düzenli ( $n$ -regular)** de denilir.



Şekil 1.8. 2-düzenli graf

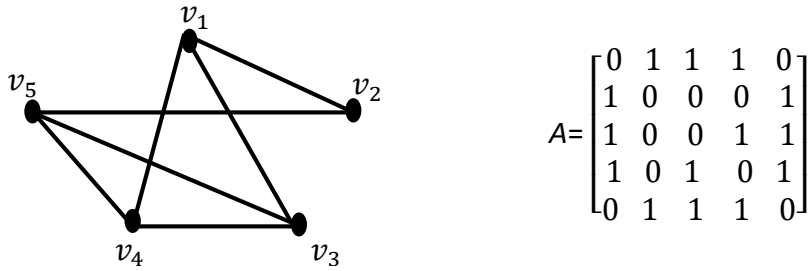
**1.8. Tanım.** Bir  $e \in E(G)$  alındığında, bu  $e$  kenarı,  $u \in V(G)$  köşesi ile birleşiyorsa  $e$  kenarı  $u$  köşesi ile **bitişiktir (incident)** denir.

**1.9. Tanım.** Aralarında en az bir kenar bulunan köşelere **komşu (adjacent) köşeler**, ortak bir ucu bulunan kenarlara ise **komşu kenarlar** denir. Örneğin  $u, v \in V(G)$  için  $uv \in E(G)$  ise  $u$  ile  $v$  köşeleri komşu köşelerdir. Eğer  $uv \notin E(G)$  ise  $u$  ile  $v$ 'ye **komşu olmayan (non-adjacent) köşeler** denir.

**1.10. Tanım.** Köşeleri  $v_1, v_2, v_3, \dots, v_n$  olan  $n$  köşeli bir  $G$  grafında

$$[A]_{i,j} = \begin{cases} 1, & v_i \text{ ve } v_j \text{ komşu (adjacent) köşeler ise} \\ 0, & \text{diğer durumlarda} \end{cases}$$

olacak şekilde  $n \times n$  tipinde yazılan  $[A]_{i,j}$  kare matrisine  $G$  grafının komşuluk (adjacency) matrisi denir ve  $A$  ile gösterilir.



**Şekil 1.9.** Bir  $G$  grafi ve bu grafa ait  $A$  komşuluk matrisi

**1.11. Tanım.**  $A$  matrisi bir  $G$  grafına ait komşuluk matrisi olmak üzere  $|A - \lambda I_n| = 0$  ifadesinin kökleri olan  $\lambda_1, \lambda_2, \dots, \lambda_n$  sayılarına  $A$  matrisinin özdeğerleri denilir. Eşitliğin sol tarafı ile elde edilen polinoma  $G$  grafının karakteristik polinomu denir.

**1.12. Tanım.** Bir  $G$  grafına ait komşuluk matrisinin tüm özdeğerlerinin kümesine  $G$  grafının spektrumu denir.

Bir  $G$  grafının karakteristik polinomuna *spektral polinom* da denir.

**1.13. Tanım.** Bir  $G$  grafının komşuluk matrisinin özdeğerleri  $\lambda_1, \lambda_2, \dots, \lambda_n$  olmak üzere bu özdeğerlerin mutlak değerlerinin toplamına  $G$  grafının enerjisi denir ve  $E(G)$  ile gösterilir.

$$E(G) = \sum_{i=1}^n |\lambda_i|$$

şeklindedir.

Şimdi tez boyunca sıkça kullanılacak olan bazı özel graf türlerini hatırlayalım:

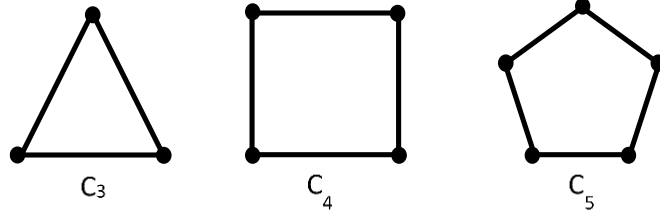
**1.14. Tanım.** Bir  $G$  grafının bazı köşeleri  $v_1, v_2, \dots, v_t \in V$  olsun.  $i = 1, 2, \dots, t$  için  $v_i v_{i+1} \in E$  dizisine  $G$  grafının bir *yolu* (*walk*) denir. Tüm köşeleri farklı olan yola *patika* (*path*) denir.  $n$  köşeli bir patika  $P_n$  ile gösterilir.



Şekil 1.10.  $P_5$  patika grafi

Tez boyunca patika için  $n$  köşe sayısı olmak üzere  $n \geq 2$  alınacaktır.

**1.15. Tanım.** Başlangıç ve bitiş noktaları aynı köşeye denk gelen  $n$  köşeye sahip bir  $G$  grafı kapalı bir patika ise bu grafa *devir* (*cycle*) *graf* denir ve  $C_n$  ile gösterilir.

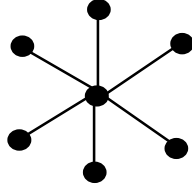


Şekil 1.11.  $C_3, C_4, C_5$  devir grafları

Tez boyunca devir graf için  $n$  köşe sayısı olmak üzere  $n \geq 3$  alınacaktır. Çünkü  $n = 1$  ve  $n = 2$  için  $C_n = P_n$ 'dir.

**1.16. Tanım.** Tüm köşelerin merkezdeki tek bir köşeye bağlandığı grafa *yıldız* (*star*) *graf* denir ve  $S_n$  ile gösterilir.

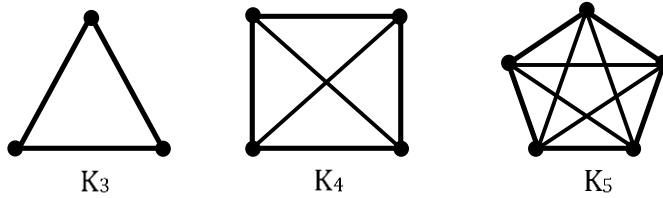
$S_n$  grafında merkezdeki köşenin derecesi  $n - 1$ , diğer köşelerin dereceleri ise 1 olur.



Şekil 1.12.  $S_6$  yıldız grafi

Tez boyunca yıldız graf için  $n$  köşe sayısı olmak üzere  $n \geq 4$  alınacaktır. Çünkü  $n = 1, 2, 3$  için  $S_n = P_n$ 'dir.

**1.17. Tanım.** Bir  $G$  grafında her köşe çifti arasında bir kenar bulunuyorsa bu grafa **tam (complete) graf** denir ve  $K_n$  ile gösterilir.

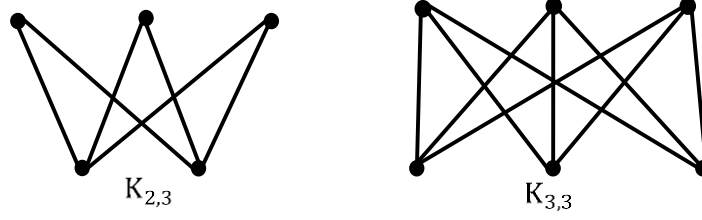


Şekil 1.13.  $K_3, K_4, K_5$  tam grafları

Tez boyunca tam graf için  $n$  köşe sayısı olmak üzere  $n \geq 4$  alınacaktır. Çünkü  $n = 1$  ve  $n = 2$  için  $K_n = P_n$  ve  $n = 3$  için  $K_n = C_n$ 'dir.

**1.18. Tanım.** Bir  $G(V, E)$  grafında,  $V$  kümesi  $A$  ve  $B$  gibi iki ayrık alt kümeye ayrıldığında  $E$  kenar kümesinden alınan her bir kenarın bir köşesi  $A$  kümesinde diğeri de  $B$  kümesinde oluyorsa bu graflara **iki parçalı (bipartite) graf** denir. Eğer  $A$  kümesindeki her bir köşe  $B$  kümesindeki her bir köşeye birleşiyorsa bu grafa **iki parçalı tam (complete bipartite) graf** denir ve  $A$  kümesinin eleman sayısı  $r$  ve  $B$  kümesinin eleman sayısı  $s$  olmak üzere tam iki parçalı graf  $K_{r,s}$  ile gösterilir.

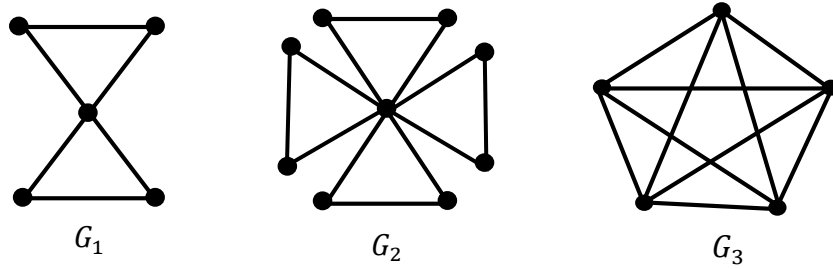




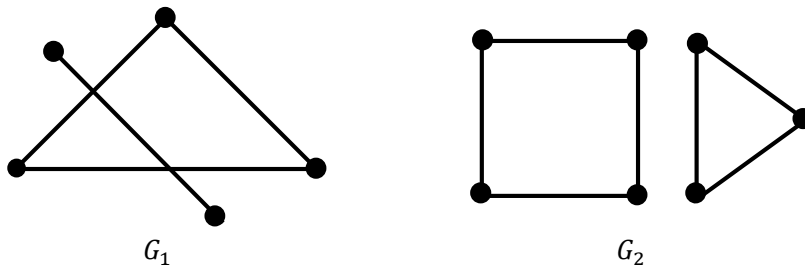
Şekil 1.14.  $K_{2,3}$  ve  $K_{3,3}$  iki parçalı tam grafi

**1.19. Tanım.**  $u$  ve  $v$ ,  $G$  grafının iki köşesi olsun. Eğer  $u$ 'dan  $v$ 'ye giden bir patika bulunabilirse  $u$  ve  $v$  köşelerine  $G$  grafında **bağlantılı köşeler** denir.

Bir  $G$  grafında her köşe çifti bağlantılı bir köşe çifti ise  $G$  grafına **bağlantılı graf** denir. Bağlantılı olmayan grafa ise **bağlantısız graf** denir.



Şekil 1.15. Bağlantılı graf örnekleri



Şekil 1.16. Bağlantısız graf örnekleri

## 2. KURAMSAL TEMELLER

Graflar, matematiğin ve belki de birçok bilim dalının en hızlı büyüyen ve genişleyen dallarından birisidir. Bunun en başlıca nedeni grafları neredeyse tüm bilimlere uygulayabilmemiz ve çok değerli bilgilere kolayca ulaşabilmemizdir. Sosyal bilimlerden pozitif bilimlere, mühendislikten ulaştırmaya, enerjiden kimyaya, fizikten biyolojiye tüm dallarda graflardan faydalanarak sonuçlar elde etmek mümkündür. Basitçe bunu açıklayacak olursak bir graf köşe ve kenarlardan oluşan bir şekildir. Bu köşeleri üzerinde çalıştığımız nesnelere modellemede kullanabiliriz. Örneğin bir moleküldeki atomları birer köşe ile modellemek oldukça yaygın bir uygulamadır. Bir ulaştırma probleminde şehirler köşelerle modellenebilir. Tüm alanlarda benzer modellemeler yapılabilir. Köşeler arasındaki kenarlar ise bu köşelere karşılık gelen nesnelere arasındaki ilişkileri yansıtır. Örneğin bir moleküldeki atomlardan birbirine bir kimyasal bağla bağlı olanları, model graftaki köşeler arasına bir kenar çizerek temsil edebiliriz. Ya da ulaştırma probleminde aralarında bir yol mevcut olan şehirlere karşılık gelen köşeler arasına bir kenar çizeriz. Hayattaki birçok kavramda bu tür ilişkiler mevcut olduğundan grafların uygulama alanları da hızla artmaktadır.

Modellediğimiz bir graf, matematikçiler için kolayca çalışılabilir bir nesnedir. Bu grafi birçok matematiksel yöntem yardımıyla çalışabiliriz. Örneğin bir grafi 0 ve 1'lerden oluşan bir matrisle birebir bir şekilde ifade edebiliriz. Bu sayede bilgisayar dillerinden uygun olanları kullanabilir ve bu tür bir program yardımıyla grafin birçok parametresini hesaplayabiliriz. Küçük boyutlu graflarda el ile yapılabilir bu işlemler, büyük boyutlu graflarda, örneğin networklerde ve sosyal medya ağlarında, bu tür programların ve yüksek hızlı işlemcilerin kullanımını gerektirmektedir.

Bir grafin matrislerle çalışılması fikri yaklaşık 40 yıl önce graf enerjisini tanımlayan Ivan Gutman tarafından Gutman (1978) makalesinde tanımlanmıştır. Gutman, binlerce atıf alan bu makalesinde bir grafin komşuluk matrisini tanımlamış ve bu matrisin özdeğerlerini lineer cebir yöntemleriyle hesaplayarak bu özdeğerlerin mutlak değerlerinin toplamı ile molekülün kimyasal enerjisi arasında bir ilişki bulunduğunu göstermiştir. Bu klasikleşmiş tanım, zaman içinde farklı graf matrislerinin kullanılmasıyla yüzün üzerinde farklı graf enerjisi kavramının tanımlanmasına ve çalışılmasına neden olmuştur.

Bu tezde Gutman'ın tanımladığı klasik enerji tanımı çalışılmış ve birçok yeni özellikleri elde edilmiştir. Çeşitli sık kullanılan graf sınıfları için graf enerjisinin hesaplanması, bu enerji değerleri arasında ilişkilerin kurulması esas hedef olarak belirlenmiştir. Büyük boyutlu bazı özel graf çeşitlerinin enerjilerini daha küçük boyutlu benzer grafların enerjileri yardımıyla hesaplamayı mümkün kılan indirgeme bağıntıları bu tezin en önemli sonuçları arasındadır. Ayrıca graflarda birleşim işleminin graf enerjisine etkisi, karakteristik polinom yardımıyla elde edilmiştir. Kimyada önemli uygulamaları olan alt bölüm graflarının karakteristik polinomları oluşturulmuş ve bunlar genel formüllerle ifade edilmiştir. Bu polinomlar yardımıyla alt bölüm graflarının enerjileri, grafin enerjisiyle ilişkilendirilmiştir.

### 3. MATERYAL ve YÖNTEM

Matematiğin en önemli alt dallarından biri olan lineer cebir oldukça geniş bir çalışma alanına sahiptir. Matematiğin uygulama alanı bulduğu birçok bilim dalında da lineer cebir yöntemlerine sıklıkla başvurulmaktadır.

Belirli kurallar çerçevesinde oluşturulan bir matrisin, determinantı yardımıyla elde edilen özdeğerleri, üzerinde çalışılan bir sistemin özel değerlerde nasıl davrandıklarını belirlemede önemli bir yer tutmaktadır. Örneğin bu değerler sisteme ait özel bir frekans değeri, dalgaların girişimi veya kuvvet dengesinin sağlandığı bir durum olabileceği gibi sisteme ait özel bir enerji türü de olabilir. Eğer verilen matris bir graf matrisi ise bu matrisin özdeğerlerinin mutlak değerleri toplamı, graf enerjisi adı verilen ve birçok uygulama alanı olan bir kavramı ortaya çıkarmaktadır. Bununla birlikte farklı graf matrislerine bağlı olarak farklı graf enerjileri de tanımlanmaktadır.

Bu tezde literatürde bilinen bazı özel graf türleri için ve tezde yeni tanımlanan graflar üzerindeki bazı operasyonlar için öncelikle grafların komşuluk matrisleri oluşturulmuştur. Ardından ise lineer cebirde yer alan determinantın özellikleri, satır-sütun operasyonları gibi işlemlerle oluşturulan yeni graf türlerinin karakteristik polinomları, bu polinomların kökleri yani özdeğerleri hesaplanmış, özel indirgeme bağıntıları oluşturulmuş böylece enerjisi hesaplanmak istenen graf sistemleri için birçok kolaylaştırıcı sonuç elde edilmiştir.

## 4. GRAFLARIN SPEKTRAL POLİNOMLARI, İNDİRGEME BAĞINTILARI ve ENERJİLERİ

Grafların uygulamada kullanılan önemli özelliklerinden biri, üzerinde çalışılan sistemin enerjisi hakkında bilgi veriyor oluşudur. Graf enerjisi olarak adlandırılan bu terim, ilk olarak 1930'larda, bir organik molekül sınıfı için, içinde sistemin enerjisini de bulunduran Schrödinger denkleminin yaklaşık çözümlerini bulma arayışı içinde olan Alman Matematikçi Erich Hückel tarafından ortaya atılmıştır. 1978'li yıllarda ise Ivan Gutman sadece moleküler graflar için tanımlı olan enerji kavramını tüm graflara genelleştirmiştir.

Bu bölümde tez boyunca sıklıkla kullanılacak olan  $G = P_n, S_n, K_n, C_n$  ve  $K_{m,n}$  graf türleri için bu grafların spektral polinomları verilmiş, bu polinomlar kullanılarak spektrumlarına geçilmiş ve spektrumları kullanarak da grafların enerji bağıntıları oluşturulmuştur. Bununla birlikte bu polinomların sağladıkları indirgeme bağıntılarına da yer verilmiştir.

### 4.1. Grafların Karakteristik Polinomları

$G(V, E)$  grafi, döngü ve çoklu kenar içermeyen  $n$  boyutlu basit ve bağlantılı bir graf olsun.  $v_1, v_2, v_3, \dots, v_n \in V(G)$  için  $G$  grafinin  $n \times n$  tipindeki komşuluk matrisi

$$[A]_{i,j} = \begin{cases} 1, & v_i \text{ ve } v_j \text{ komşu (adjacent) köşeler ise} \\ 0, & \text{diğer durumlarda} \end{cases}$$

olacak şekilde oluşturulur. Bu oluşturulan  $A$  matrisi için  $|A - \lambda I_n| = 0$  denkleminin kökleri  $G$  grafinin özdeğerlerini verirken eşitliğin solundaki determinantın açık hali ise  $\lambda$ 'ya bağlı, derecesi  $n$  olan bir polinom vermektedir. Bu polinoma spektral polinom, polinomun köklerinin oluşturduğu kümeye ise grafin spektrumu denir. Spektral polinom  $Pol(G)$  ile spektrum ise  $S(G)$  ile gösterilir.

Literatürde birçok özelliği iyi bilinen  $G = K_n, S_n$  ve  $K_{m,n}$  graflarının karakteristik polinomlarını veren teorem aşağıda verilmiştir (Brouwer ve Haemers 2012).

**Lemma 4.1.1.** [Çelik 2016]  $G = K_n$ ,  $S_n$  ve  $K_{m,n}$  graflarının karakteristik polinomları

$$Pol(G) = \begin{cases} (-1)^n(\lambda + 1)^{n-1}(\lambda - n + 1), & G = K_n, \\ (-\lambda)^{n-2}(\lambda^2 - n + 1), & G = S_n, \\ (-1)^{m+n}\lambda^{m+n-2}(\lambda^2 - mn), & G = K_{m,n} \end{cases}$$

şeklindedir.

**İspat.**  $A$  komşuluk matrisi oluşturulan  $G = K_n$ ,  $S_n$  ve  $K_{m,n}$  grafları için  $|A - \lambda I_n|$  determinantına lineer cebirin uygun satır-sütun işlemleri uygulanılarak istenilen sonuca kolayca ulaşılmaktadır.

**Sonuç 4.1.2.**  $G = K_n$ ,  $S_n$  ve  $K_{m,n}$  graflarının spektrumları

$$S(G) = \begin{cases} \{(-1)^{n-1}, n - 1\}, & G = K_n, \\ \{0^{n-2}, \mp\sqrt{n-1}\}, & G = S_n, \\ \{0^{m+n-2} \mp \sqrt{mn}\}, & G = K_{m,n} \end{cases}$$

şeklindedir.

**İspat.** Bir  $G$  grafinin karakteristik polinomunun köklerinin oluşturduğu kümeye o grafin spektrumu denildiği daha önce belirtilmiştir. Dolayısıyla Lemma 4.1.1.'de verilen polinomların köklerinin oluşturduğu kümenin, istenilen sonucu verdiği açıktır.

Spektrumlarının elemanları, yalnızca trigonometrik ifadeler cinsinden yazılabilen  $P_n$  ve  $C_n$  grafları için bu grafların karakteristik polinomları aşağıda verilmiştir.

**Lemma 4.1.3.** [Çelik 2016, Çelik ve Cangül 2017]  $P_n$  yol grafinin karakteristik polinomu

$$Pol(P_n) = \begin{cases} \sum_{k=0}^{\frac{n}{2}} (-1)^k \binom{n-k}{k} \lambda^{n-2k}, & n \text{ çift sayı,} \\ \sum_{k=0}^{\frac{n-1}{2}} (-1)^{k+1} \binom{n-k}{k} \lambda^{n-2k}, & n \text{ tek sayı} \end{cases}$$

şeklindedir.

**İspat.**  $P_n$   $n$  köşeli bir yol grafi olmak üzere bu graf için  $A$  komşuluk matrisi oluşturulup  $|A - \lambda I_n|$  determinantı için gerekli satır-sütun işlemleri yapıldığında istenilen sonuca ulaşılmaktadır.

Lemma 4.1.3.'de bulunan  $Pol(P_n)$  polinomunun köklerinin

$$\lambda_i = 2 \cos\left(\frac{\pi i}{n+1}\right) \quad i = 1, 2, 3, \dots, n$$

şeklinde olduğu iyi bilinen bir sonuçtur (Brouwer ve Haemers 2012, Li ve ark. 2012). Dolayısıyla  $P_n$  polinomunun spektrumu

$$S(P_n) = \left\{ \lambda_i : \lambda_i = 2 \cos\left(\frac{\pi i}{n+1}\right), \quad i = 1, 2, 3, \dots, n \right\}$$

şeklindedir.

**Lemma 4.1.4.** [Çelik 2016]  $n \geq 3$  için  $C_n$  devir grafın karakteristik polinomu

$$Pol(C_n) = \begin{cases} \left( \sum_{k=0}^{\frac{n-1}{2}} (-1)^k T(n, k) \lambda^{n-2k} - 2 \right) + 2(-1)^{\frac{n}{2}}, & n \text{ çift sayı,} \\ \left( \sum_{k=0}^{\frac{n-1}{2}} (-1)^{k+1} T(n, k) \lambda^{n-2k} \right) + 2, & n \text{ tek sayı} \end{cases}$$

şeklindedir. Burada  $T(n, k)$  sayısı, Lucas (Cardan) polinomunun katsayıları (OEİS A034807) olmak üzere

$$T(n, 0) = 1$$

ve

$$T(n, k) = \binom{n-k}{k} + \binom{n-k-1}{k-1} = \frac{n(n-k-1)!}{(n-2k)!k!}, \quad k \leq \frac{n}{2}$$

olarak tanımlanmaktadır.

**İspat.**  $C_n$  grafinin karakteristik polinomunu bulmak için tümevarım uygulanarak istenilen sonuca ulaşılmaktadır. Bulunan polinom incelendiğinde katsayıları OEİS A034807'de verilen Lucas (Cardan) polinomunun katsayıları ile aynı olduğu görülmektedir. Gerekli düzenlemeler ile istenilen sonuca kolayca ulaşılmaktadır.

Lemma 4.1.4.'de bulunan  $Pol(C_n)$  polinomunun köklerinin

$$\lambda_i = 2 \cos\left(\frac{2\pi i}{n}\right) \quad i = 0, 1, 2, 3, \dots, n-1$$

şeklinde olduğu iyi bilinen bir sonuçtur (Brouwer ve Haemers 2012, Li ve ark. 2013). Dolayısıyla  $C_n$  polinomunun spektrumu

$$S(C_n) = \left\{ \lambda_i : \lambda_i = 2 \cos\left(\frac{2\pi i}{n}\right), \quad i = 1, 2, 3, \dots, n-1 \right\}$$

şeklindedir.

**Örnek 4.1.5.**  $K_5$  tam grafi için bu grafin polinomunu ve spektrumunu belirleyelim.

$n = 5$  için  $K_n$  tam grafinin karakteristik polinomu ve spektrumu Lemma 4.1.1. ve Sonuç 4.1.2. gereği

$$Pol(K_5) = -(\lambda + 1)^4(\lambda - 4) \text{ ve } S(K_5) = \{-1^4, 4\}$$

şeklindedir.

**Örnek 4.1.6.**  $S_7$  yıldız grafi için bu grafın polinomunu ve spektrumunu belirleyelim.

$n = 7$  için  $S_n$  yıldız grafının karakteristik polinomu ve spektrumu Lemma 4.1.1. ve Sonuç 4.1.2. gereği

$$Pol(S_7) = (-\lambda)^5 (\lambda^2 - 6) \text{ ve } S(S_7) = \{0^5, \mp\sqrt{6}\}$$

olarak bulunur.

**Örnek 4.1.7.**  $K_{3,2}$  tam iki parçalı graf için bu grafın polinomunu ve spektrumunu bulalım.

$m = 3, n = 2$  için  $K_{m,n}$  tam iki parçalı grafın karakteristik polinomu ve spektrumu Lemma 4.1.1. ve Sonuç 4.1.2. gereği

$$Pol(K_{3,2}) = (-1)^5 \cdot \lambda^3 \cdot (\lambda^2 - 6) \text{ ve } S(K_{3,2}) = \{0^3, \mp\sqrt{6}\}$$

olarak belirlenir.

**Örnek 4.1.8.**  $P_6$  yol grafi için bu grafın polinomunu bulalım.

$n = 6$  için  $P_n$  yol grafının karakteristik polinomu Lemma 4.1.3. gereği

$$\begin{aligned} Pol(P_6) &= \sum_{k=0}^3 (-1)^k \binom{6-k}{k} \lambda^{6-2k} \\ &= \lambda^6 - 5\lambda^4 + 6\lambda^2 - 1 \end{aligned}$$

olarak bulunur.

**Örnek 4.1.9.**  $C_5$  devir grafi için bu grafın polinomunu belirleyelim.

$n = 5$  için  $C_n$  devir grafının karakteristik polinomu Lemma 4.1.4. gereği



$$\begin{aligned}
Pol(C_5) &= \left( \sum_{k=0}^2 (-1)^{k+1} T(5, k) \lambda^{5-2k} \right) + 2 \\
&= -\lambda^5 + 5\lambda^3 - 5\lambda + 2
\end{aligned}$$

olarak belirlenir.

#### 4.2. Karakteristik Polinomların İndirgeme Bağlıları

Bir grafin enerjisini hesaplayabilmek için o grafin komşuluk matrisinden gelen özdeğerlerinin mutlak değerleri alınarak bu verilerin toplanması gerektiği Tanım 1.13.'de verilmiştir. Özdeğerlerinin hesaplanmasında oldukça kullanışlı bir yöntem olarak geliştirilen, kökleri bu özdeğerleri veren karakteristik polinomlar graf teoride önemli bir yer tutar. Bu bölümde karakteristik polinomları bilinen graflar ile köşe sayısı daha fazla olan aynı tür graflar arasında ilişkiler verilecektir (Çelik 2016).

İlk olarak  $K_n$  tam grafi için  $Pol(K_n)$  polinomunun sağladığı indirgeme bağıntısı verilecektir.

**Teorem 4.2.1.**  $K_n$  tam grafi için  $Pol(K_n)$  polinomunun sağladığı indirgeme bağıntısı,

$$Pol(K_n) = -\lambda Pol(K_{n-1}) - (n-1)(-\lambda-1)^{n-2}, \quad n \geq 3$$

şeklindedir. Bu polinoma gerekli düzenlemeler yapıldığında

$$Pol(K_n) = -(\lambda + n - 1)Pol(K_{n-1}) - (n-1)(\lambda + 1)Pol(K_{n-2})$$

eşitliği elde edilir.

**İspat.**  $n$  köşeli bir  $K_n$  tam grafinin komşuluk matrisi,

$$A = \begin{bmatrix} 0 & 1 & 1 & \dots & 1 \\ 1 & 0 & 1 & \dots & 1 \\ 1 & 1 & 0 & \dots & 1 \\ \vdots & \vdots & \vdots & \ddots & \vdots \\ 1 & 1 & 1 & \dots & 0 \end{bmatrix}_{n \times n}$$

olup köşegeninin elemanları 0, diğer tüm elemanlarının 1 olduğu  $n \times n$  tipinde bir kare matristir. Dolayısıyla

$$Pol(K_n) = |A - \lambda I_n| = \begin{vmatrix} -\lambda & 1 & 1 & \dots & 1 \\ 1 & -\lambda & 1 & \dots & 1 \\ 1 & 1 & -\lambda & \dots & 1 \\ \vdots & \vdots & \vdots & \ddots & \vdots \\ 1 & 1 & 1 & \dots & -\lambda \end{vmatrix}_{n \times n}$$

şeklindedir. Bu determinant birinci sütuna göre açılırsa

$$= -\lambda \begin{vmatrix} 1 & 1 & \dots & 1 \\ 1 & -\lambda & 1 & \dots & 1 \\ 1 & 1 & -\lambda & \dots & 1 \\ \vdots & \vdots & \vdots & \ddots & \vdots \\ 1 & 1 & 1 & \dots & -\lambda \end{vmatrix}_{(n-1) \times (n-1)} - (n-1) \begin{vmatrix} 1 & 1 & 1 & \dots & 1 \\ 1 & -\lambda & 1 & \dots & 1 \\ 1 & 1 & -\lambda & \dots & 1 \\ \vdots & \vdots & \vdots & \ddots & \vdots \\ 1 & 1 & 1 & \dots & -\lambda \end{vmatrix}_{(n-1) \times (n-1)}$$

$$= -\lambda Pol(K_{n-1}) - (n-1) \begin{vmatrix} 1 & 1 & 1 & \dots & 1 \\ 1 & -\lambda & 1 & \dots & 1 \\ 1 & 1 & -\lambda & \dots & 1 \\ \vdots & \vdots & \vdots & \ddots & \vdots \\ 1 & 1 & 1 & \dots & -\lambda \end{vmatrix}_{(n-1) \times (n-1)} \quad (4.1)$$

elde edilir. Son determinanttaki birinci satır  $-1$  ile çarpılıp diğer satırlara eklenirse

$$\begin{vmatrix} (-1-\lambda) & 0 & 0 & \dots & 0 \\ 0 & (-1-\lambda) & 0 & \dots & 0 \\ 0 & 0 & (-1-\lambda) & \dots & 0 \\ \vdots & \vdots & \vdots & \ddots & \vdots \\ 0 & 0 & 0 & \dots & (-1-\lambda) \end{vmatrix}_{(n-2) \times (n-2)}$$

determinantı elde edilir ve bu determinantın değeri olan  $(-1 - \lambda)^{n-2}$  değeri (4.1)'de yerine yazıldığında

$$Pol(K_n) = -\lambda Pol(K_{n-1}) - (n - 1)(-\lambda - 1)^{n-2}$$

ifadesinin elde edildiği kolayca görülür.

Benzer şekilde yukarıdaki indirgeme bağıntısına gerekli düzenlemeler yapıldığında aşağıdaki bağıntı da elde edilebilir:

**Sonuç 4.2.2.**  $K_n$  grafinin özdeğerlerini kök kabul eden  $Pol(K_n)$  polinomunun indirgeme bağıntısı

$$Pol(K_n) = -(\lambda + n - 1)Pol(K_{n-1}) - (n - 1)(\lambda + 1)Pol(K_{n-2})$$

şeklindedir.

Bir sonraki teoremden ise  $S_n$  yıldız grafi için indirgeme bağıntısı oluşturulacaktır.

**Teorem 4.2.3.**  $S_n$  yıldız grafi için  $Pol(S_n)$  polinomunun sağladığı indirgeme bağıntısı

$$Pol(S_n) = -\lambda Pol(S_{n-1}) - (-\lambda)^{n-2}, \quad n \geq 4$$

şeklindedir.

**İspat.**  $n$  köşeli bir  $S_n$  tam grafinin komşuluk matrisi

$$A = \begin{bmatrix} 0 & 0 & 0 & \dots & 1 \\ 0 & 0 & 0 & \dots & 1 \\ 0 & 0 & 0 & \dots & 1 \\ \vdots & \vdots & \vdots & \ddots & \vdots \\ 1 & 1 & 1 & \dots & 0 \end{bmatrix}_{n \times n}$$

olup,  $n \times n$  tipinde bir matristir. Bu matriste  $a_{nn} = 0$  olup  $n$ . satır ve  $n$ . sütundaki diğer tüm elemanlar 1 sayısına eşit iken diğer tüm elemanlar da 0'a eşittir. Dolayısıyla

$$Pol(S_n) = |A - \lambda I_n| = \begin{vmatrix} -\lambda & 0 & 0 & \dots & 1 \\ 0 & -\lambda & 0 & \dots & 1 \\ 0 & 0 & -\lambda & \dots & 1 \\ \vdots & \vdots & \vdots & \ddots & \vdots \\ 1 & 1 & 1 & \dots & -\lambda \end{vmatrix}_{n \times n}$$

şeklindedir. Bu determinant birinci sütuna göre açılırsa

$$= -\lambda \begin{vmatrix} -\lambda & 0 & 0 & \dots & 1 \\ 0 & -\lambda & 0 & \dots & 1 \\ 0 & 0 & -\lambda & \dots & 1 \\ \vdots & \vdots & \vdots & \ddots & \vdots \\ 1 & 1 & 1 & \dots & -\lambda \end{vmatrix}_{(n-1) \times (n-1)} + (-1)^{n+1} \begin{vmatrix} 0 & 0 & 0 & \dots & 1 \\ -\lambda & 0 & 0 & \dots & 1 \\ 0 & -\lambda & 0 & \dots & 1 \\ \vdots & \vdots & \vdots & \ddots & \vdots \\ 0 & 0 & 0 & \dots & 1 \end{vmatrix}_{(n-1) \times (n-1)}$$

İkinci kısımda elde edilen determinant her seferinde 1. sütuna göre açılıp bu işlem  $3 \times 3$  tipindeki determinant elde edilene kadar tekrarlanırsa

$$= -\lambda Pol(S_{n-1}) + (-1)^{n+1} [(-\lambda)^{n-4} (-\lambda)^{n-4} (-\lambda)^2]$$

bağıntısı elde edilir. Uygun düzenlemeler yapılarak

$$Pol(S_n) = -\lambda Pol(S_{n-1}) - 1(-\lambda)^{n-2}, \quad n \geq 4$$

olduğu kolayca görülür.

Üçüncü olarak  $K_{m,n}$  tam iki parçalı graf için  $Pol(K_{m,n})$  polinomunun sağladığı indirgeme bağıntısı aşağıdaki teoremde verilecektir.

**Teorem 4.2.4.**  $K_{m,n}$  tam iki parçalı graf için  $Pol(K_{m,n})$  polinomunun sağladığı indirgeme bağıntısı

$$Pol(K_{m,n}) = -\lambda Pol(K_{m-1,n}) - n(-\lambda)^{m+n-2} \quad m > 1$$

ve

$$Pol(K_{1,n}) = -\lambda Pol(K_{1,n-1}) - (-\lambda)^{n-1} \quad m = 1$$

olacak şekilde yazılabilir.

**İspat.**  $m = 1$  için  $K_{1,n}$  grafi  $S_{n+1}$  yıldız grafi ile  $K_{1,n-1}$  grafi da  $S_n$  yıldız grafi aynı yapıya sahiplerdir. Dolayısıyla Teorem 4.2.3.'de gerekli düzenlemeler yapılarak istenilen sonuca ulaşılır.

$m > 1$  için Lemma 4.1.1.'de verilen  $K_{m,n}$  grafının polinomunda uygun düzenlemeler yapılarak

$$\begin{aligned} Pol(K_{m,n}) &= (-1)^{m+n} \lambda^{m+n-2} (\lambda^2 - mn) \\ &= (-\lambda)^{m+n-2} (\lambda^2 - mn) \\ &= (-\lambda)(-\lambda)^{m+n-3} (\lambda^2 - mn + n - n) \\ &= -\lambda [(-\lambda)^{m+n-3} (\lambda^2 - mn + n)] - n(-\lambda)^{m+n-2} \\ &= -\lambda Pol(K_{m-1,n}) - n(-\lambda)^{m+n-2} \end{aligned}$$

Teorem 4.2.4.'ün ispatı tamamlanır.

Bundan sonraki iki teoremde ise  $P_n$  yol graflarının ve  $C_n$  devir graflarının karakteristik polinomlarının sağladıkları indirgeme bağıntıları oluşturulacaktır.

**Teorem 4.2.5.**  $P_n$  yol grafi için  $Pol(P_n)$  polinomunun sağladığı indirgeme bağıntısı

$$Pol(P_n) = -\lambda Pol(P_{n-1}) - Pol(P_{n-2}), \quad n \geq 3$$

şeklindedir.

**İspat.**  $n$  köşeli bir  $P_n$  yol grafinin komşuluk matrisi

$$A = \begin{bmatrix} 0 & 1 & 0 & \dots & 0 \\ 1 & 0 & 1 & \dots & 0 \\ 0 & 1 & 0 & \dots & 0 \\ \vdots & \vdots & \vdots & \ddots & \vdots \\ 0 & 0 & 0 & \dots & 0 \end{bmatrix}_{n \times n}$$

olup karakteristik polinom tanımından

$$Pol(P_n) = |A - \lambda I| = \begin{vmatrix} -\lambda & 1 & 0 & \dots & 0 \\ 1 & -\lambda & 1 & \dots & 0 \\ 0 & 1 & -\lambda & \dots & 0 \\ \vdots & \vdots & \vdots & \ddots & \vdots \\ 0 & 0 & 0 & \dots & -\lambda \end{vmatrix}_{n \times n}$$

elde edilir. Bu determinant birinci satıra göre açılırsa

$$= -\lambda \begin{vmatrix} -\lambda & 1 & 0 & \dots & 0 \\ 1 & -\lambda & 1 & \dots & 0 \\ 0 & 1 & -\lambda & \dots & 0 \\ \vdots & \vdots & \vdots & \ddots & \vdots \\ 0 & 0 & 0 & \dots & -\lambda \end{vmatrix}_{(n-1) \times (n-1)} - \begin{vmatrix} 1 & 1 & 0 & \dots & 0 \\ 0 & -\lambda & 1 & \dots & 0 \\ 0 & 1 & -\lambda & \dots & 0 \\ \vdots & \vdots & \vdots & \ddots & \vdots \\ 0 & 0 & 0 & \dots & -\lambda \end{vmatrix}_{(n-1) \times (n-1)}$$

ifadesine ulaşılır. Burada soldaki determinantın değeri  $Pol(P_{n-1})$ 'e eşit olurken sağdaki determinant birinci sütuna göre tekrar açılırsa

$$= -\lambda Pol(P_{n-1}) - \begin{vmatrix} -\lambda & 1 & 0 & \dots & 0 \\ 1 & -\lambda & 1 & \dots & 0 \\ 0 & 1 & -\lambda & \dots & 0 \\ \vdots & \vdots & \vdots & \ddots & \vdots \\ 0 & 0 & 0 & \dots & -\lambda \end{vmatrix}_{(n-2) \times (n-2)}$$

ifadesi elde edilir. Son elde edilen determinantın  $Pol(P_{n-2})$ 'yi veren determinant olduğu açıktır. Buradan hareketle

$$Pol(P_n) = -\lambda Pol(P_{n-1}) - Pol(P_{n-2})$$

olduğu kolayca görülür.

**Teorem 4.2.6.**  $C_n$  devir grafi için  $Pol(C_n)$  polinomunun sağladığı indirgeme bağıntısı

$$Pol(C_n) = -\lambda Pol(C_{n-1}) - Pol(C_{n-2}) + (-1)^n Pol(C_1), \quad n \geq 3$$

şeklindedir.

**İspat.**  $Pol(P_n)$  ifadesinin indirgeme bağıntısı için uygulanan işlem basamaklarının benzerleri  $Pol(C_n)$  için de uygulanarak istenilen indirgeme bağıntısı kolayca elde edilir.

### 4.3. Grafların Enerji Bağıntıları

İlk olarak Erick Hückel tarafından ortaya atılan grafların enerjisi kavramı, moleküler grafların bazı özelliklerini çalışmada oldukça fayda sağladığından, Kimyasal Graf Teori'de önemli bir yere sahiptir. Özellikle literatürde sık kullanılan ve birçok özelliği iyi bilinen bazı özel graf türleri için bu grafların enerjileri bu bölümde hatırlatılacaktır. Tanım 1.13.'de de belirtildiği gibi bir grafin enerjisi, o grafa ait spektrumun tüm elemanlarının mutlak değerce toplamına eşittir. Bu tanım gereği  $n$  köşeli bir  $G$  grafinin spektrumu  $\{\lambda_i, i = 1, 2, \dots, n\}$  olmak üzere grafin enerjisi

$$E(G) = \sum_{i=1}^n |\lambda_i|$$

bağıntısı ile hesaplanır. Buradan hareketle bu bölümde  $G = K_n, S_n, K_{m,n}, P_n$  ve  $C_n$  grafları için enerji bağıntıları verilecektir.

Enerji kavramı ile ilgili ek bilgi olarak Gutman (1978), Walikar ve ark. (1999), Adiga ve ark. (2007), Nikiforov (2007) çalışmalarına bakılabilir.

**Lemma 4.3.1.** [Çelik 2016]  $G = K_n, S_n$  ve  $K_{m,n}$  graflarının enerji bağıntıları

$$E(G) = \begin{cases} 2(n-1), & G = K_n, \\ 2|\sqrt{n-1}|, & G = S_n, \\ 2|\sqrt{mn}|, & G = K_{m,n} \end{cases}$$

şeklindedir.

**İspat.**  $G = K_n, S_n$  ve  $K_{m,n}$  graflarının her biri için Sonuç 4.1.2.'de verilen spektrumların elemanlarının mutlak değerleri alınarak toplandığında istenilen sonuca kolayca ulaşıldığı görülmektedir.

Burada  $P_n$  ve  $C_n$  graflarının özdeğerleri trigonometrik değerler içerdiğinden enerji bağıntıları da diğer graflara göre farklılık göstermektedir. Bu graflar için enerji bağıntılarına ulaşırken faydalandığımız Çelik ve Cangul (2016)'da verilen aşağıdaki sonuçları hatırlayalım.

**Lemma 4.3.2.**  $P_n$ 'in spektrumunda her  $k = 1, 2, \dots, n$  için

$$\lambda_k = -\lambda_{n+1-k}$$

olur.



**İspat.**  $S(P_n) = \left\{ \lambda_i : \lambda_i = 2 \cos \left( \frac{\pi i}{n+1} \right), i = 1, 2, 3, \dots, n \right\}$  olmak üzere

$$\begin{aligned}
 \lambda_{n+1-k} &= 2 \cos \left( \frac{\pi(n+1-k)}{n+1} \right) \\
 &= 2 \cos \left( \frac{\pi(n+1)}{n+1} - \frac{\pi k}{n+1} \right) \\
 &= 2 \cos \left( \pi - \frac{\pi k}{n+1} \right) \\
 &= -2 \cos \left( \frac{\pi k}{n+1} \right) \\
 &= -\lambda_k.
 \end{aligned}$$

**Lemma 4.3.3.**  $C_n$ 'in spektrumunda her  $k = 0, 1, 2, \dots, n-1$  için

$$\lambda_k = \lambda_{n-k}$$

olur.

**İspat.**

$$\begin{aligned}
 \lambda_{n-k} &= 2 \cos \left( \frac{2\pi(n-k)}{n} \right) = 2 \cos \left( \frac{2\pi n}{n} - \frac{2\pi k}{n} \right) \\
 &= 2 \cos \left( n - \frac{2\pi k}{n} \right) \\
 &= 2 \cos \left( -\frac{2\pi k}{n} \right) \\
 &= 2 \cos \left( \frac{2\pi k}{n} \right) \\
 &= \lambda_k.
 \end{aligned}$$

**Teorem 4.3.4.**  $P_n$  bir yol grafi olmak üzere yol grafinin enerjisi

$$E(P_n) = \sum_{i=1}^n 2 \left| \cos \left( \frac{\pi i}{n+1} \right) \right| = \begin{cases} 2 \sum_{i=1}^{\frac{n-1}{2}} |\lambda_i| & n \text{ tek iken,} \\ 2 \sum_{i=1}^{\frac{n}{2}} |\lambda_i| & n \text{ çift iken} \end{cases}$$

şeklindedir.

**İspat.**  $\{\lambda_i \mid i = 1, 2, 3, \dots, n\}$  kümesi  $P_n$ 'in spektrumu olmak üzere enerji tanımından

$$E(P_n) = \sum_{i=1}^n 2 \left| \cos \left( \frac{\pi i}{n+1} \right) \right|$$

elde edilir. Bununla birlikte ilk olarak Lemma 4.3.2. gereği  $n$  tek sayı iken

$$\lambda_1 = -\lambda_n, \lambda_2 = \lambda_{n-1}, \dots, \lambda_{\frac{n-1}{2}} = \lambda_{\frac{n+3}{2}} \text{ ve } \lambda_{\frac{n+1}{2}} = 0$$

olur. Dolayısıyla

$$E(P_n) = 2 \sum_{i=1}^{\frac{n-1}{2}} |\lambda_i|$$

olduğu kolayca görülür. İkinci olarak  $n$  çift sayı iken Lemma 4.3.2. gereği

$$\lambda_1 = -\lambda_n, \lambda_2 = \lambda_{n-1}, \dots, \lambda_{\frac{n}{2}} = \lambda_{\frac{n+2}{2}}$$

olur. Buradan da enerjinin tanımı kullanılarak  $P_n$  grafının enerjisinin

$$E(P_n) = 2 \sum_{i=1}^{\frac{n}{2}} |\lambda_i|$$

olduğu kolaylıkla yazılabilir.

**Teorem 4.3.5.**  $n \geq 3$  için  $C_n$  bir devir grafi olmak üzere bu grafin enerjisi

$$E(C_n) = \sum_{i=0}^{n-1} 2 \left| \cos\left(\frac{2\pi i}{n}\right) \right| = \begin{cases} 2 + 2 \sum_{i=1}^{\frac{n-1}{2}} |\lambda_i| & n \text{ tek iken,} \\ 4 + 2 \sum_{i=1}^{\frac{n-2}{2}} |\lambda_i| & n \text{ çift iken} \end{cases}$$

şeklindedir.

**İspat.**  $\{\lambda_i \mid i = 0, 1, \dots, n-1\}$  kümesi  $C_n$ 'in spektrumu olmak üzere enerji tanımından

$$E(C_n) = \sum_{i=0}^{n-1} 2 \left| \cos\left(\frac{2\pi i}{n}\right) \right|$$

elde edilir. Burada ilk olarak  $n$  tek olduğu durumda Lemma 4.3.3. gereği

$$\lambda_0 = 2, \lambda_1 = \lambda_{n-1}, \lambda_2 = \lambda_{n-2}, \dots, \lambda_{\frac{n-1}{2}} = \lambda_{\frac{n+1}{2}}$$

elde edilir. Enerji tanımından

$$E(C_n) = \sum_{i=0}^{n-1} |\lambda_i| = 2 + 2 \sum_{i=1}^{\frac{n-1}{2}} |\lambda_i|$$

olduğu kolayca görülür.

İkinci olarak  $n$  çift olduğu durumda Lemma 4.3.3. gereği

$$\lambda_0 = 2, \lambda_1 = \lambda_{n-1}, \lambda_2 = \lambda_{n-2}, \dots, \lambda_{\frac{n-2}{2}} = \lambda_{\frac{n+2}{2}}$$

elde edilir. Enerji tanımı kullanılarak

$$E(C_n) = \sum_{i=0}^{n-1} |\lambda_i| = 4 + 2 \sum_{i=1}^{\frac{n-2}{2}} |\lambda_i|$$

olduğu kolaylıkla görülür.

Yukarıda verilen  $E(C_n)$  bağıntısına alternatif olarak Li ve ark. (2012)'da

$$E(C_n) = \begin{cases} 4 \cot \frac{\pi}{n} & n \equiv 0 \pmod{4} \\ 4 \csc \frac{\pi}{n} & n \equiv 2 \pmod{4} \\ 2 \csc \frac{\pi}{2n} & n \equiv 1 \pmod{2} \end{cases}$$

bağıntısı da verilmiştir.

**Örnek 4.3.6.** Köşe sayısı 8 olan tam grafin enerjisi Lemma 4.3.1. gereği

$$E(K_8) = 2 \cdot (8 - 1) = 14$$

şeklindedir.

**Örnek 4.3.7.** Köşe sayısı 5 olan yıldız grafin enerjisi Lemma 4.3.1. gereği

$$E(S_5) = 2|\sqrt{5-1}| = 4$$

şeklindedir.

**Örnek 4.3.8.** Köşe sayısı 13 olan iki parçalı tam grafin enerjisi Lemma 4.3.1. gereği

$$E(K_{4,9}) = 2|\sqrt{4 \cdot 9}| = 12$$

şeklindedir.

**Örnek 4.3.9.** Köşe sayısı 16 olan yol grafin enerjisi Teorem 4.3.4. gereği

$$E(P_{16}) = \sum_{i=1}^{16} |\lambda_i| = 2 \sum_{i=1}^8 \left| 2\cos \frac{\pi i}{17} \right|$$

şeklindedir.

**Örnek 4.3.10.** Köşe sayısı 7 olan yol grafin enerjisi Teorem 4.3.4. gereği

$$E(P_7) = \sum_{i=1}^7 |\lambda_i| = 2 \sum_{i=1}^3 \left| 2\cos \frac{\pi i}{8} \right|$$

şeklindedir.

**Örnek 4.3.11.** Köşe sayısı 7 olan devir grafin enerjisi Teorem 4.3.5. gereği

$$E(C_7) = \sum_{i=0}^6 |\lambda_i| = 2 + 2 \sum_{i=1}^3 \left| 2\cos \frac{2\pi i}{7} \right|$$

şeklindedir.

**Örnek 4.3.12.** Köşe sayısı 16 olan devir grafin enerjisi Teorem 4.3.5. gereği

$$E(C_{16}) = \sum_{i=0}^{15} |\lambda_i| = 4 + 2 \sum_{i=1}^7 \left| 2\cos \frac{2\pi i}{16} \right|$$

şeklindedir.

## 5.GRAFLARDA ENERJİ İNDİRGEME BAĞINTILARI

Grafların uygulama alanlarından enerji kavramı, graf teoride oldukça önemli bir yer tutmaktadır. Bu doğrultuda birçok graf türünün enerjisini hesaplamada kolaylık sağlayan bağıntılar geliştirilmiştir. Bu bölümde literatürden de iyi bilinen bazı graf türleri için, aynı türe ait graflarda, köşe sayısı daha küçük olan graflar ile köşe sayısı daha büyük olan graflar arasındaki enerji ilişkileri incelenecek, incelemelerin sonunda yeni enerji indirgeme bağıntıları oluşturulacaktır. Bununla birlikte özellikle köşe sayısı 2'nin kuvvetleri şeklinde olan devir grafları için enerji hesaplamada yeni yöntemler geliştirilecektir.

### 5.1. $C_n$ Devir Grafında Enerji İndirgeme Bağıntısı

$C_n$  bir devir graf olmak üzere, literatürden de bilindiği gibi bu graf türünün spektrumunun elemanları  $\lambda_i = 2 \cos\left(\frac{2\pi i}{n}\right)$ ,  $i = 0, 1, 2, \dots, n-1$  şeklindedir. Burada daha önce  $C_n$  için bulunan spektrumlar arası geçiş bağıntıları kullanılarak  $2^n$  köşeye sahip devir grafının enerjisini hesaplamaya yarayan yeni ve kullanışlı bir bağıntı geliştirilecektir (Çelik 2016).

$C_n$  grafının enerji indirgeme bağıntısına geçmeden önce, enerji için gerekli olan spektrumun elemanlarında gerekli düzenlemeler yapılmalıdır. Bu grafın spektrumunun elemanlarını ayrı ayrı hesaplamak yerine Lemma 4.3.3. kullanılarak  $\lambda_0, \lambda_1, \lambda_2, \dots, \lambda_{\lfloor \frac{n}{2} \rfloor}$  değerlerini hesaplamak daha kullanışlı olacaktır. Bununla birlikte  $n \geq 3$  için  $C_n$  grafının spektrumu  $S(C_n) = \{\lambda_0, \lambda_1, \lambda_2, \dots, \lambda_{n-2}, \lambda_{n-1}\}$  şeklinde ve  $C_{2n}$  grafının spektrumu  $S(C_{2n}) = \{\mu_0, \mu_1, \dots, \mu_{2n-2}, \mu_{2n-1}\}$  şeklinde gösterildiğinde her  $j = 1, 2, 3, \dots, 2n-1$  için  $\lambda_i$  ve  $\mu_j$  arasında

$$\mu_{2j} = 2 \cos\left(\frac{2\pi 2j}{2n}\right) = 2 \cos\left(\frac{2\pi j}{n}\right) = \lambda_j$$

bağıntısı vardır. Trigonometrik yarım açı formülleri kullanılarak her  $k = 1, 2, \dots, n-1$  için

$$\mu_k = \mu_{2n-k} = \mp \sqrt{\lambda_k + 2}$$

bağıntısı elde edilir (Çelik 2016).

İlk olarak  $C_{2^n}$  grafının enerjisini hesaplamak için geliştirilen bağıntı verilecektir.

**Teorem 5.1.1.**  $n \geq 3$  için  $E(C_{2^n})$  ifadesi  $2^n$  köşeye sahip devir grafının enerjisi olmak üzere

$$E(C_{2^n}) = 4 \left( 1 + \sqrt{2} + 2\sqrt{\sqrt{2} + 2} + 2^2 \sqrt{\sqrt{\sqrt{2} + 2} + 2} + \dots \right. \\ \left. + 2^{n-3} \sqrt{\sqrt{\dots \sqrt{\sqrt{\sqrt{2} + 2} + 2} + 2} + 2} \right)$$

şeklindedir. Burada son terimde  $n - 2$  tane karekök iç içedir.

**İspat.** Eşitliğin doğruluğu tümevarım yöntemi kullanılarak gösterilecektir.

Tümevarımın ilk adımı olarak  $n = 3$  değeri için teoremin doğruluğu incelensin.

$$S(C_4) = S(C_{2^2}) = \{\lambda_0, \lambda_1, \lambda_2, \lambda_3\} \text{ ve } S(C_8) = S(C_{2^3}) = \{\mu_0, \mu_1, \dots, \mu_7\}$$

şeklinde olsun. Burada

$$S(C_4) = \{\lambda_0 = 2, \lambda_1 = 0, \lambda_2 = -2, \lambda_3 = 0\}$$

olup yukarıda verilen bağıntılar kullanılarak

$$\mu_0 = \lambda_0 = 2, \quad \mu_2 = \lambda_1 = 0, \quad \mu_4 = \lambda_2 = -2, \quad \mu_6 = \lambda_3 = 0$$

ve

$$\mu_1 = \mu_7 = \sqrt{\lambda_1 + 2}, \quad \mu_3 = \mu_5 = \sqrt{\lambda_3 + 2}$$

elde edilir. Bu değerler teoremden yerine yazılırsa

$$\begin{aligned} E(C_{2^3}) &= \sum_{i=0}^7 |\mu_i| = |\mu_0| + |\mu_1| + |\mu_2| + |\mu_3| + |\mu_4| + |\mu_5| + |\mu_6| + |\mu_7| \\ &= |\lambda_0| + |\lambda_1| + |\lambda_2| + |\lambda_3| + 2(|\mu_1| + |\mu_3|) \\ &= E(C_4) + 2(\sqrt{\lambda_1 + 2} + \sqrt{\lambda_3 + 2}) \\ &= 4(1 + \sqrt{2}) \end{aligned}$$

olur. Böylece  $n = 3$  için teoremin doğruluğu açıktır.

Şimdi  $C_{2^{n-1}}$ 'nin spektrumunun  $\{\beta_0, \beta_1, \beta_2, \dots, \beta_{2^{n-1}-1}\}$  olduğu ve teoremin  $C_{2^{n-1}}$  için de doğru olduğu kabul edilsin. Spektrumun  $(2k + 1)$ . terimi

$$\beta_{2k+1} = \sqrt{\sqrt{\sqrt{\dots \sqrt{\sqrt{\sqrt{2} + 2} + 2} + 2} + \dots + 2}}$$

şeklinde  $n - 3$  kez karekök ifadesinin kullanılmasıyla hesaplanır. Tüm bunlar göz önünde bulundurularak  $C_{2^{n-1}}$ 'in enerjisi



$$E(C_{2^{n-1}}) = 4 \left( 1 + \sqrt{2} + 2\sqrt{\sqrt{2} + 2} + 2^2 \sqrt{\sqrt{\sqrt{2} + 2} + 2} + \dots \right. \\ \left. + 2^{n-4} \sqrt{\sqrt{\sqrt{\sqrt{\sqrt{2} + 2} + 2} + 2} + \dots + 2} \right)$$

şeklinde ifade edilebilir.

Tümevarımın son adımında ise köşe sayısı  $2^n$  olan her devirli graf için enerji

$$E(C_{2^n}) = \sum_{k=0}^{2^n-1} |\alpha_k| \\ = \sum_{k=0}^{2^{n-1}-1} |\alpha_{2k}| + \sum_{k=0}^{2^{n-1}-1} |\alpha_{2k+1}| \\ = \sum_{k=0}^{2^{n-1}-1} |\beta_k| + \sum_{k=0}^{2^{n-1}-1} |\sqrt{\beta_{2k+1} + 2}| \\ = 4 \left( 1 + \sqrt{2} + 2\sqrt{\sqrt{2} + 2} + \dots \right. \\ \left. + 2^{n-3} \sqrt{\sqrt{\sqrt{\sqrt{\sqrt{2} + 2} + 2} + 2} + \dots + 2} \right)$$

olup verilen teoremin her  $n \geq 3, n \in N$  için doğruluğu kanıtlanmış olur.

**Teorem 5.1.2.**  $n \geq 3$  olmak üzere  $C_{2^n}$  devirli grafının enerjisi için indirgeme bağıntısı

$$E(C_{2^n}) = E(C_{2^{n-1}}) + 2^{n-1} \sqrt{\sqrt{\dots \sqrt{\sqrt{\sqrt{2} + 2 + 2 + \dots + 2}}}}$$

şeklindedir. Burada eşitliğin sağında  $n - 3$  kez karekök iç içedir.

**Örnek 5.1.3.**  $E(C_{32})$  değerini hesaplayalım.

$E(C_{32}) = E(C_{2^5})$  olduğundan Teorem 5.1.1. kullanılarak

$$\begin{aligned} E(C_{2^5}) &= 4 \left( 1 + \sqrt{2} + 2\sqrt{\sqrt{2} + 2} + 2^2 \sqrt{\sqrt{\sqrt{2} + 2} + 2} \right) \\ &\approx 55,808 \end{aligned}$$

olduğu hesaplanır.

**Örnek 5.1.4.**  $E(C_{64})$  değerini hesaplayalım.

$E(C_{64}) = E(C_{2^6})$  olduğundan Teorem 5.1.1. kullanıldığında

$$\begin{aligned} E(C_{2^6}) &= 4 \left( 1 + \sqrt{2} + 2\sqrt{\sqrt{2} + 2} + 2^2 \sqrt{\sqrt{\sqrt{2} + 2} + 2} \right. \\ &\quad \left. + 2^3 \sqrt{\sqrt{\sqrt{\sqrt{2} + 2} + 2} + 2} \right) \\ &\approx 119,496 \end{aligned}$$

değerine ulaşılır.

**Örnek 5.1.5.**  $E(C_{32}) \approx 55,808$  olarak veriliyor. Buna göre  $E(C_{64}) \approx 119,496$  olduğunu Teorem 5.1.2.'yi kullanarak gösterelim.

$$\begin{aligned} E(C_{2^6}) &= E(C_{2^5}) + 2^5 \sqrt{\sqrt{\sqrt{\sqrt{2} + 2} + 2} + 2} \\ &\approx 55,808 + 32.1,990 \\ &\approx 119,496. \end{aligned}$$

Devir grafında spektrumun elemanlarının trigonometrik ifadeler olması, diğer bazı özel graf türlerine göre, literatürdeki bilgilere alternatif olacak farklı sonuçlar ortaya çıkarmaktadır. Bir sonraki teoremde  $n \geq 3$  için spektrumu ve enerjisi bilinen  $C_n$  grafının verilerini kullanarak  $2n$  köşeye sahip  $C_{2n}$  grafının enerjisini hesaplamada kolaylık sağlayan indirgeme bağıntısı verilecektir.

**Teorem 5.1.6.**  $n \geq 3$  için,  $S(C_n) = \{\lambda_0, \lambda_1, \lambda_2, \dots, \lambda_{n-2}, \lambda_{n-1}\}$  olsun.  $E(C_n)$  ile  $E(C_{2n})$  arasındaki ilişki

$$\frac{E(C_{2n}) - E(C_n)}{2} = \begin{cases} \sum_{j=1}^{\frac{n}{2}} \sqrt{\lambda_{2j-1} + 2}, & n \text{ çift iken} \\ \sum_{j=1}^{\frac{n-1}{2}} \sqrt{\lambda_{2j-1} + 2}, & n \text{ tek iken} \end{cases}$$

şeklindedir.

**İspat.** Enerjinin tanımından

$$E(C_n) = \sum_{j=0}^{n-1} |\lambda_j|$$

olduğu bilinmektedir. Bununla birlikte Çelik ve Cangül (2017)'de verilen  $S(C_n)$  ve  $S(C_{2n})$  arasındaki bağıntıdan

$$E(C_{2n}) = E(C_n) + \sum_{j=1}^{\lfloor \frac{n}{2} \rfloor} \sqrt{\lambda_{2j-1} + 2}$$

elde edilir. Buradan da

$$\frac{E(C_{2n}) - E(C_n)}{2} = \begin{cases} \sum_{j=1}^{\frac{n}{2}} \sqrt{\lambda_{2j-1} + 2}, & m \text{ çift iken} \\ \sum_{j=1}^{\frac{n-1}{2}} \sqrt{\lambda_{2j-1} + 2}, & m \text{ tek iken} \end{cases}$$

sonucuna ulaşılır.

## 5.2. $P_n$ Yol Grafında Enerji İndirgeme Bağıntısı

$P_n$  bir yol grafi olmak üzere bu graf türünün spektrumunun elemanlarının trigonometrik bağıntılarla hesaplanması spektrumlar arası geçişlerde farklılıklar gösterdiği gibi enerjiler arası geçişlerde de farklılıklar göstermektedir. Bir sonraki teoremden  $E(P_n)$  ile  $E(P_{2n})$  arasındaki ilişki verilecektir.

**Teorem 5.2.1.**  $n \geq 1$  için,  $S(P_n) = \{\lambda_1, \lambda_2, \dots, \lambda_{n-1}, \lambda_n\}$  olsun.  $E(P_n)$  ile  $E(P_{2n})$  arasında

$$\frac{E(P_{2n}) - E(P_n)}{2} = \begin{cases} \sum_{j=1}^{\frac{n}{2}} \sqrt{\lambda_{2j-1} + 2}, & n \text{ çift iken} \\ \sum_{j=1}^{\frac{n-1}{2}} \sqrt{\lambda_{2j-1} + 2}, & n \text{ tek iken} \end{cases}$$

bağıntısı vardır.

**İspat.** Enerjinin tanımından

$$E(P_n) = \sum_{j=1}^n |\lambda_j|$$

olduğu bilinmektedir. Bununla birlikte Celik ve Cangül(2017)'de verilen  $S(P_n)$  ve  $S(P_{2n})$  arasındaki bağıntıdan

$$E(P_{2n}) = E(P_n) + \sum_{j=1}^{\lfloor \frac{n}{2} \rfloor} \sqrt{\lambda_{2j-1} + 2}$$

elde edilir ve buradan da

$$\frac{E(P_{2n}) - E(P_n)}{2} = \begin{cases} \sum_{j=1}^{\frac{n}{2}} \sqrt{\lambda_{2j-1} + 2}, & n \text{ çift iken} \\ \sum_{j=1}^{\frac{n-1}{2}} \sqrt{\lambda_{2j-1} + 2}, & n \text{ tek iken} \end{cases}$$

sonucu elde edilir.

### 5.3. $K_n$ Tam Grafında Enerji İndirgeme Bağıntısı

$K_n$  tam grafinin spektrumun elemanlarının  $-1^{(n-1)}$  ve  $n-1$  olduğu Sonuç 4.1.2.'de verilmiştir. Enerji tanımı gereği bu değerlerin mutlak değerlerinin toplamı olan  $2(n-1)$  değeri  $E(K_n)$  değerine eşittir.  $E(K_n)$  ile  $E(K_{2n-1})$  arasındaki indirgeme bağıntısı aşağıdaki teoremde verilecektir.

**Teorem 5.3.1.**  $n \geq 3$  için  $E(K_{2n-1})$  tam grafinin enerji indirgeme bağıntısı

$$E(K_{2n-1}) = 2E(K_n)$$

şeklindedir.

**İspat.** Özel bazı graf türlerinin enerjileri için Çelik (2016), Çelik ve Cangül (2017), Brouwer ve Haemers (2012), Li ve ark. (2012) çalışmalarına bakıldığında  $K_n$  tam grafının spektrumun elemanlarının  $-1^{(n-1)}$  ve  $n - 1$  olduğu ve enerji tanımından da enerjisinin  $2(n - 1)$  değerine eşit olduğu bilinen bir sonuçtur. Buradan hareketle Lemma 4.3.1. kullanılarak

$$\begin{aligned} E(K_{2n-1}) &= 2(2n - 1 - 1) \\ &= 2(2n - 2) \\ &= 2.2(n - 1) \\ &= 2E(K_n) \end{aligned}$$

elde edilir.

#### 5.4. $K_{m,n}$ İki Parçalı Tam Grafta Enerji İndirgeme Bağıntısı

$K_{m,n}$  iki parçalı tam grafının spektrumunun elemanlarının  $0^{(mn-2)}$  ve  $\mp\sqrt{mn}$  şeklinde, enerjisinin ise  $2\sqrt{mn}$  şeklinde olduğu Sonuç 4.1.2.'de ve Lemma 4.3.1.'de verilmiştir. Bir sonraki teoremden ise  $E(K_{m,n})$  ile  $E(K_{2m,n})$  arasındaki indirgeme bağıntısı verilecektir.

**Teorem 5.4.1.**  $2m + n$  köşeli iki parçalı tam bir grafın enerjisini veren  $E(K_{2m,n})$  ile veya  $m + 2n$  köşeli iki parçalı tam bir grafın enerjisini veren  $E(K_{m,2n})$  ile  $m + n$  köşeli iki parçalı tam grafın enerjisini veren  $E(K_{m,n})$  arasında

$$E(K_{2m,n}) = E(K_{m,2n}) = \sqrt{2}E(K_{m,n})$$

olacak şekilde bir indirgeme bağıntısı vardır.

**İspat.** Lemma 4.3.1.'den

$$\begin{aligned}
E(K_{2m,n}) &= E(K_{m,2n}) \\
&= 2\sqrt{2mn} \\
&= 2\sqrt{2}\sqrt{mn} \\
&= \sqrt{2}E(K_{m,n})
\end{aligned}$$

sonucuna ulaşılır. Bununla birlikte köşe sayısı  $rm + sn$  olan iki parçalı tam grafi için enerji indirgeme bağıntısı aşağıda sonuçta verilmiştir.

**Sonuç 5.4.2.**  $K_{rm,sn}$  grafi için enerji indirgeme bağıntısı

$$E(K_{rm,sn}) = \sqrt{rs} \cdot E(K_{m,n})$$

şeklindedir.

**İspat.** Lemma 4.3.1.'den

$$\begin{aligned}
E(K_{rm,sn}) &= 2\sqrt{rm \cdot sn} \\
&= 2\sqrt{rs} \cdot \sqrt{mn} \\
&= \sqrt{rs} \cdot E(K_{m,n})
\end{aligned}$$

olup istenilen bağıntı elde edilir.

### 5.5. $S_n$ Yıldız Grafında Enerji İndirgeme Bağıntısı

$S_n$  yıldız grafının özdeğerlerinin  $0^{(n-2)}$  ve  $\mp\sqrt{n-1}$ , enerjisinin ise  $2\sqrt{n-1}$  olduğu Sonuç 4.1.2.'de ve Lemma 4.3.1.'de verilmiştir. Burada ise bu veriler kullanılarak  $E(S_n)$  ile  $E(S_{2n-1})$  arasında enerji indirgeme bağıntısı verilecektir.

**Teorem 5.5.1.**  $n$  köşeli yıldız grafın enerjisi ile  $2n - 1$  köşeli yıldız grafın enerjisi arasında

$$E(S_{2n-1}) = \sqrt{2}E(S_n)$$

şeklinde bir indirgeme bağıntısı vardır.

**İspat.** Lemma4.3.1. kullanıldığında

$$\begin{aligned} E(S_{2n-1}) &= 2\sqrt{2n-1-1} \\ &= 2\sqrt{2n-2} \\ &= 2\sqrt{2}\sqrt{n-1} \\ &= \sqrt{2}E(S_n) \end{aligned}$$

olacak şekilde indirgeme bağıntısı elde edilir.



## 6. GRAFLARDA BİRLEŞİM ve BİRLEŞİMİN KARAKTERİSTİK POLİNOM ÜZERİNDEKİ ETKİSİ

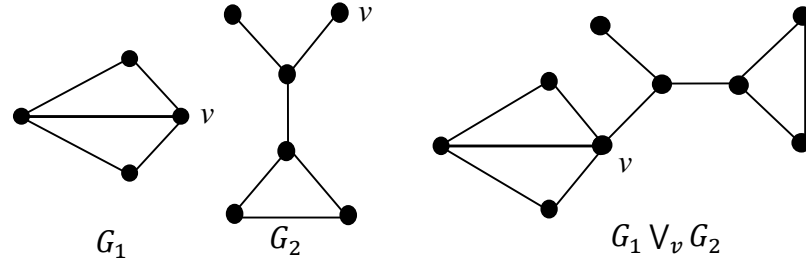
Günlük hayatta sık sık karşılaştığımız ve kullanım alanı oldukça yaygın olan grafların incelenmesi ve bu graflar üzerinde yapılan çalışmalar akıllara farklı sorular getirmekte, bunun da bir sonucu olarak graflar üzerinde pek çok operasyonlar tanımlanmaktadır. İki grafin kartezyen çarpımı, belirlenen bir köşeden iki grafin birleşimi, bir kenar ile köprü kurularak birleşim, bir graftan kenar ekleme ya da kenar silme, köşe ekleme ya da graftan köşe silme gibi pek çok operasyon tanımlanabilmektedir. Örneğin  $G_1 = (V_1, E_1)$  ve  $G_2 = (V_2, E_2)$  olarak verilen iki grafin birleşimi denildiğinde klasik birleşim işlemi düşünülerek  $G_1 \cup G_2 = (V_1 \cup V_2, E_1 \cup E_2)$  grafi oluşturulur. Bu bölümde klasik birleşim yönteminden farklı olarak  $K_n$ ,  $S_n$  ve  $P_n$  grafları için iki yeni birleşim metodu tanımlanacak, birleşim sonucunda oluşan yeni grafların karakteristik polinomları belirlenecek ve bu polinomlar ile bileşenlerin karakteristik polinomları arasındaki ilişki araştırılacaktır.

### 6.1. İki Grafin Bir Köşede Birleşimi

Bu bölümde üzerinde çalışılacak olan yeni bir birleşim metodu tanımlanacaktır:

**Tanım 6.1.**  $G_1$  ve  $G_2$  iki graf olsun.  $V(G_1)$  ve  $V(G_2)$  kümelerinden belirlenen birer köşe  $v$  olarak isimlendirilsin. Bu  $v$  köşelerini özdeşleyecek şekilde iki graf  $v$  köşesinde birleştirilsin. Elde edilen grafa, verilen grafların  **$v$  köşesinde birleşimi** denir ve  $G_1 \vee_v G_2$  ile gösterilir. Burada  $G_1 \vee_v G_2$  grafinin köşe kümesi  $V(G_1 \vee_v G_2) = V(G_1) \cup V(G_2)$  ve kenar kümesi  $E(G_1 \vee_v G_2) = E(G_1) \cup E(G_2)$  dir.

Ayrıca  $|V(G_1)| = n_1$  ve  $|V(G_2)| = n_2$  olmak üzere  $|V(G_1 \vee_v G_2)| = n_1 + n_2 - 1$ ;  $|E(G_1)| = m_1$  ve  $|E(G_2)| = m_2$  olmak üzere  $|E(G_1 \vee_v G_2)| = m_1 + m_2$  dir.



**Şekil 6.1.**  $G_1$ ,  $G_2$  ve  $G_1 \vee_v G_2$  köşe birleşim grafi

Birçok kullanım alanı olan graflar, özellikle kimyasal moleküller için oldukça önemli bir yere sahiptir. Hakkında literatürde pek çok veri bulunan molekül yapıları, çeşitli kurallar çerçevesinde, bir araya gelerek daha büyük moleküllere dönüşebilmektedir. Yapısal değişiklik gösteren yeni molekül yapılarının incelenmesi sırasında kullanılan graf teorisinin uygulama basamakları için hem zamandan hem de işlem kalabalığından tasarruf sağlayacak bazı bağıntılar bu bölümde verilecektir.

Simetri ve düzenlilik, grafları konu alan birçok alanda en çok aranan özellikler arasındadır. Moleküler grafların geneli belirli bir noktaya göre simetrik olan iki alt grafın birleşimi şeklindedir. Bu yüzden de bu bölümde iki aynı grafın belirlenen bir köşede simetrik olacak şekilde birleştirilmesi ile oluşan birleşim grafları ve bu grafların karakteristik polinomları oluşturulacaktır. Böylece oluşturulan polinomlar sayesinde, büyük bir grafın karakteristik polinomunu baştan yazmak yerine bileşenler cinsinden polinomu oluşturma kolaylığı elde edilmiş olacaktır. Literatürden de iyi bilinen  $P_n$ ,  $K_n$  ve  $S_n$  graflarının karakteristik polinomlarını kullanarak  $P_n \vee_v P_n$ ,  $K_n \vee_v K_n$  ve  $S_n \vee_v S_n$  graflarının karakteristik polinomları formülize edilecektir.

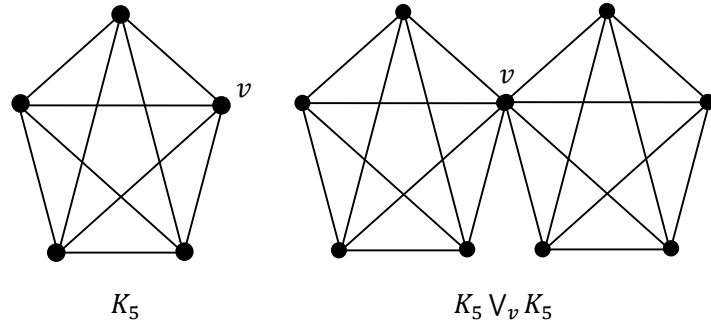
İlk olarak  $K_n$  tam grafi için  $K_n \vee_v K_n$  köşe birleşim grafi ve bu grafın karakteristik polinomu verilecektir.

**Teorem 6.1.1.**  $K_n$  tam grafi için bir  $v$  köşesinde köşe birleşim grafi olan  $K_n \vee_v K_n$  için karakteristik polinom

$$Pol(K_n V_v K_n) = (1 + \lambda)^{n-2} [(-1)^{n+1} ((n-2) Pol(K_{n-1}) + (\lambda - n + 2) Pol(K_n)) - Pol(K_{n-1})]$$

şeklindedir.

**İspat.**  $K_n$  tam grafi için bir  $v$  köşesinde köşe birleşim grafi olan  $K_n V_v K_n$  grafinin karakteristik polinomunun hesaplanmasına geçilmeden önce  $K_5 V_v K_5$  grafi açıklık sağlamak amacıyla aşağıdaki Şekil 6.2.'de verilmiştir.



**Şekil 6.2.**  $K_5$  ve  $K_5 V_v K_5$  köşe birleşim grafi

$2n - 1$  köşeye sahip  $K_n V_v K_n$  grafinin komşuluk matrisi,

$$A = \begin{bmatrix} 0 & 1 & 1 & \dots & 1 & 1 & 1 & 1 & \dots & 1 \\ 1 & 0 & 1 & \dots & 1 & 1 & 0 & 0 & \dots & 0 \\ 1 & 1 & 0 & \dots & 1 & 1 & 0 & 0 & \dots & 0 \\ \vdots & \vdots & \vdots & \ddots & \vdots & \vdots & \vdots & \vdots & \ddots & \vdots \\ 1 & 1 & 1 & \dots & 0 & 1 & 0 & 0 & \dots & 0 \\ 1 & 1 & 1 & \dots & 1 & 0 & 0 & 0 & \dots & 0 \\ 1 & 0 & 0 & \dots & 0 & 0 & 0 & 1 & \dots & 1 \\ 1 & 0 & 0 & \dots & 0 & 0 & 1 & 0 & \dots & 1 \\ \vdots & \vdots & \vdots & \ddots & \vdots & \vdots & \vdots & \vdots & \ddots & \vdots \\ 1 & 0 & 0 & \dots & 0 & 0 & 1 & 1 & \dots & 1 \\ 1 & 0 & 0 & \dots & 0 & 0 & 1 & 1 & \dots & 0 \end{bmatrix}_{(2n-1) \times (2n-1)}$$

şeklinde oluşturulur. Bu komşuluk matrisinin bazı satır ve sütunları incelendiğinde sol üst kısmının  $K_n$  tam grafinin komşuluk matrisine, sağ alt kısmının ise  $K_{n-1}$  tam grafinin komşuluk matrisine ait olduğu kolayca görülmektedir. Literatürden  $K_n V_v K_n$  grafinin karakteristik polinomu  $Pol(K_n V_v K_n) = |A - \lambda I_{2n-1}|$  olup

$$Pol(K_n V_v K_n) = \begin{vmatrix} -\lambda & 1 & 1 & \cdots & 1 & 1 & 1 & \cdots & 1 \\ 1 & -\lambda & 1 & \cdots & 1 & 1 & 0 & \cdots & 0 \\ 1 & 1 & -\lambda & \cdots & 1 & 1 & 0 & \cdots & 0 \\ \vdots & \vdots & \vdots & \ddots & \vdots & \vdots & \vdots & \ddots & \vdots \\ 1 & 1 & 1 & \cdots & -\lambda & 1 & 0 & \cdots & 0 \\ 1 & 1 & 1 & \cdots & 1 & -\lambda & 0 & \cdots & 0 \\ 1 & 0 & 0 & \cdots & 0 & 0 & -\lambda & \cdots & 1 \\ \vdots & \vdots & \vdots & \ddots & \vdots & \vdots & \vdots & \ddots & \vdots \\ 1 & 0 & 0 & \cdots & 0 & 0 & 1 & \cdots & -\lambda \end{vmatrix}_{(2n-1) \times (2n-1)}$$

şeklindedir. Bu determinanta önce elementer işlemlerden  $-C_{2n-1} + C_{n+1} \rightarrow C_{n+1}$ ,  $-C_{2n-1} + C_{n+2} \rightarrow C_{n+2}$ ,  $-C_{2n-1} + C_{n+3} \rightarrow C_{n+3}$ ,  $\dots$ ,  $-C_{2n-1} + C_{2n-2} \rightarrow C_{2n-2}$  olacak şekilde önce sütun işlemleri uygulanıp ardından da  $\frac{1}{\lambda}R_{2n-1} + R_{n+1} \rightarrow R_{n+1}$ ,  $\frac{1}{\lambda}R_{2n-1} + R_{n+2} \rightarrow R_{n+2}$ ,  $\frac{1}{\lambda}R_{2n-1} + R_{n+3} \rightarrow R_{n+3}$ ,  $\dots$ ,  $\frac{1}{\lambda}R_{2n-1} + R_{2n-2} \rightarrow R_{2n-2}$  satır işlemleri uygulandıktan sonra  $(n+1)$ . satırdan  $(2n-2)$ . satıra kadar her bir satır  $\frac{(1+\lambda)}{\lambda}$  parantezine alınırsa yukarıdaki determinanın eşiti

$$= \left(\frac{1+\lambda}{\lambda}\right)^{n-2} \begin{vmatrix} -\lambda & 1 & 1 & \cdots & 1 & 0 & 0 & \cdots & 0 & 1 \\ 1 & -\lambda & 1 & \cdots & 1 & 0 & 0 & \cdots & 0 & 0 \\ 1 & 1 & -\lambda & \cdots & 1 & 0 & 0 & \cdots & 0 & 0 \\ \vdots & \vdots & \vdots & \ddots & \vdots & \vdots & \vdots & \vdots & \vdots & \vdots \\ 1 & 1 & 1 & \cdots & -\lambda & 0 & 0 & \cdots & 0 & 0 \\ 1 & 0 & 0 & \cdots & 0 & 1-\lambda & 1 & \cdots & 1 & 0 \\ 1 & 0 & 0 & \cdots & 0 & 1 & 1-\lambda & \cdots & 1 & 0 \\ 1 & 0 & 0 & \cdots & 0 & 1 & 1 & \cdots & 1 & 0 \\ \vdots & \vdots & \vdots & \vdots & \vdots & \vdots & \vdots & \vdots & \ddots & \vdots \\ 1 & 0 & 0 & \cdots & 0 & 1 & 1 & \cdots & 1-\lambda & 0 \\ 1 & 0 & 0 & \cdots & 0 & 1+\lambda & 1+\lambda & \cdots & 1+\lambda & -\lambda \end{vmatrix}_{(2n-1) \times (2n-1)}$$

şekline dönüşür. Bu adımda  $(n+1)$ . satır  $(-1)$  ile çarpılıp altında kalan tüm satırlara eklenir ve ardından son  $n-2$  satırın her biri  $\lambda$  parantezine alınırsa

$$= (1 + \lambda)^{n-2} \begin{vmatrix} -\lambda & 1 & \cdots & 1 & 1 & 1 & 1 & \cdots & 1 & 1 \\ 1 & -\lambda & \cdots & 1 & 0 & 0 & 0 & \cdots & 0 & 0 \\ 1 & 1 & \cdots & 1 & 0 & 0 & 0 & \cdots & 0 & 0 \\ \vdots & \vdots & \ddots & \vdots & \vdots & \vdots & \vdots & \ddots & \vdots & \vdots \\ 1 & 1 & \cdots & -\lambda & 0 & 0 & 0 & \cdots & 0 & 0 \\ 1 & 0 & \cdots & 0 & 1-\lambda & 0 & 0 & \cdots & 0 & 0 \\ 0 & 0 & \cdots & 0 & 1 & -1 & 0 & \cdots & 0 & 0 \\ 0 & 0 & \cdots & 0 & 1 & 0 & -1 & \cdots & 0 & 0 \\ \vdots & \vdots & \ddots & \vdots & \vdots & \vdots & \vdots & \ddots & \vdots & \vdots \\ 0 & 0 & \cdots & 0 & 1 & 0 & 0 & \cdots & -1 & 0 \\ 0 & 0 & \cdots & 0 & 1 & 0 & 0 & \cdots & 0 & -1 \end{vmatrix}_{(2n-1) \times (2n-1)}$$

determinantı elde edilir. Burada ise  $(n + 2)$ . satırdan  $(2n - 2)$ . satıra kadar olan tüm satırlar  $(n + 1)$ . satıra eklenip elde edilen determinant son satıra göre açılırsa

$$= (1 + \lambda)^{n-2} \begin{vmatrix} -\lambda & 1 & \cdots & 1 & 1 & 1 & 1 & \cdots & 1 & 1 \\ 1 & -\lambda & \cdots & 1 & 0 & 0 & 0 & \cdots & 0 & 0 \\ 1 & 1 & \cdots & 1 & 0 & 0 & 0 & \cdots & 0 & 0 \\ \vdots & \vdots & \ddots & \vdots & \vdots & \vdots & \vdots & \ddots & \vdots & \vdots \\ 1 & 1 & \cdots & -\lambda & 0 & 0 & 0 & \cdots & 0 & 0 \\ 1 & 0 & \cdots & 0 & (n-2-\lambda) & 0 & 0 & \cdots & 0 & 0 \\ 0 & 0 & \cdots & 0 & 1 & -1 & 0 & \cdots & 0 & 0 \\ 0 & 0 & \cdots & 0 & 1 & 0 & -1 & \cdots & 0 & 0 \\ \vdots & \vdots & \ddots & \vdots & \vdots & \vdots & \vdots & \ddots & \vdots & \vdots \\ 0 & 0 & \cdots & 0 & 1 & 0 & 0 & \cdots & -1 & 0 \\ 0 & 0 & \cdots & 0 & 1 & 0 & 0 & \cdots & 0 & -1 \end{vmatrix}_{(2n-2) \times (2n-2)}$$

$$+ (-1)^{3n} \begin{vmatrix} -\lambda & 1 & \cdots & 1 & 1 & 1 & \cdots & 1 & 1 & 1 \\ 1 & -\lambda & \cdots & 1 & 0 & 0 & \cdots & 0 & 0 & 0 \\ 1 & 1 & \cdots & 1 & 0 & 0 & \cdots & 0 & 0 & 0 \\ \vdots & \vdots & \ddots & \vdots & \vdots & \vdots & \vdots & \vdots & \vdots & \vdots \\ 1 & 1 & \cdots & -\lambda & 0 & 0 & \cdots & 0 & 0 & 0 \\ 1 & 0 & \cdots & 0 & 0 & 0 & \cdots & 0 & 0 & 0 \\ 0 & 0 & \cdots & 0 & -1 & 0 & \cdots & 0 & 0 & 0 \\ 0 & 0 & \cdots & 0 & 0 & -1 & \cdots & 0 & 0 & 0 \\ \vdots & \vdots & \ddots & \vdots & \vdots & \vdots & \vdots & \ddots & \vdots & \vdots \\ 0 & 0 & \cdots & 0 & 0 & 0 & \cdots & -1 & 0 & 0 \\ 0 & 0 & \cdots & 0 & 0 & 0 & \cdots & 0 & -1 & 0 \end{vmatrix}_{(2n-2) \times (2n-2)}$$

ifadesi elde edilir. Birinci determinanatta elementer sütün işlemlerinden  $C_{2n-2} + C_{2n-3} + C_{2n-4} + \dots + C_{n+1} \rightarrow C_{n+1}$  işlemi uygulanıp ikinci determinanatta son satırına göre açılırsa

$$= (1 + \lambda)^{n-2} \begin{pmatrix} -\lambda & 1 & \dots & 1 & (n-2) & 1 & 1 & \dots & 1 & 1 \\ 1 & -\lambda & \dots & 1 & 0 & 0 & 0 & \dots & 0 & 0 \\ 1 & 1 & \dots & 1 & 0 & 0 & 0 & \dots & 0 & 0 \\ \vdots & \vdots & \ddots & \vdots & \vdots & \vdots & \vdots & \ddots & \vdots & \vdots \\ 1 & 1 & \dots & -\lambda & 0 & 0 & 0 & \dots & 0 & 0 \\ 1 & 0 & \dots & 0 & (n-2-\lambda) & 0 & 0 & \dots & 0 & 0 \\ 0 & 0 & \dots & 0 & 0 & -1 & 0 & \dots & 0 & 0 \\ 0 & 0 & \dots & 0 & 0 & 0 & -1 & \dots & 0 & 0 \\ \vdots & \vdots & \ddots & \vdots & \vdots & \vdots & \vdots & \ddots & \vdots & \vdots \\ 0 & 0 & \dots & 0 & 0 & 0 & 0 & \dots & -1 & 0 \\ 0 & 0 & \dots & 0 & 0 & 0 & 0 & \dots & 0 & -1 \end{pmatrix}_{(2n-2) \times (2n-2)}$$

$$+ (-1)^{3n} \begin{pmatrix} -\lambda & 1 & \dots & 1 & 1 & 1 & \dots & 1 & 1 & 1 \\ 1 & -\lambda & \dots & 1 & 0 & 0 & \dots & 0 & 0 & 0 \\ 1 & 1 & \dots & 1 & 0 & 0 & \dots & 0 & 0 & 0 \\ \vdots & \vdots & \ddots & \vdots & \vdots & \vdots & \ddots & \vdots & \vdots & \vdots \\ 1 & 1 & \dots & -\lambda & 0 & 0 & \dots & 0 & 0 & 0 \\ 1 & 0 & \dots & 0 & 0 & 0 & \dots & 0 & 0 & 0 \\ 0 & 0 & \dots & 0 & -1 & 0 & \dots & 0 & 0 & 0 \\ 0 & 0 & \dots & 0 & 0 & -1 & \dots & 0 & 0 & 0 \\ \vdots & \vdots & \ddots & \vdots & \vdots & \vdots & \ddots & \vdots & \ddots & \vdots \\ 0 & 0 & \dots & 0 & 0 & 0 & \dots & -1 & 0 & 0 \\ 0 & 0 & \dots & 0 & 0 & 0 & \dots & 0 & -1 & 0 \end{pmatrix}_{(2n-3) \times (2n-3)}$$

şeklinde yeni determinantlar elde edilir. Elde edilen bu determinantlardan başta elde edilen  $(2n - 2) \times (2n - 2)$  tipindeki determinanı önce son satırına göre açıp ardından ise her iki determinanı da  $(n + 2)$ . satıra gelinceye kadar son satırlarına göre açma işlemi devam ettirildiğinde

$$\begin{aligned}
&= (1 + \lambda)^{n-2} \left( (-1)^{n-4} \begin{vmatrix} -\lambda & 1 & 1 & \dots & 1 & 1 & n-2 \\ 1 & -\lambda & 1 & \dots & 1 & 1 & 0 \\ 1 & 1 & -\lambda & \dots & 1 & 1 & 0 \\ \vdots & \vdots & \vdots & \ddots & \vdots & \vdots & \vdots \\ 1 & 1 & 1 & \dots & -\lambda & 1 & 0 \\ 1 & 1 & 1 & \dots & 1 & -\lambda & 0 \\ 1 & 0 & 0 & \dots & 0 & 0 & (n-2-\lambda) \end{vmatrix}_{(n+1) \times (n+1)} \right. \\
&\quad \left. + (-1)^{3n} \begin{vmatrix} -\lambda & 1 & 1 & \dots & 1 & 1 & 1 \\ 1 & -\lambda & 1 & \dots & 1 & 1 & 0 \\ 1 & 1 & -\lambda & \dots & 1 & 1 & 0 \\ \vdots & \vdots & \vdots & \ddots & \vdots & \vdots & \vdots \\ 1 & 1 & 1 & \dots & -\lambda & 1 & 0 \\ 1 & 1 & 1 & \dots & 1 & -\lambda & 0 \\ 1 & 0 & 0 & \dots & 0 & 0 & 0 \end{vmatrix}_{(n+1) \times (n+1)} \right)
\end{aligned}$$

toplamı elde edilir. Bu iki determinant önce son satırlarına göre açılıp ardından da yeni determinantlar son sütunlarına göre açılırsa

$$\begin{aligned}
&= (1 + \lambda)^{n-2} \left( (-1)^{n+1}(n-2) \begin{vmatrix} -\lambda & 1 & 1 & \dots & 1 \\ 1 & -\lambda & 1 & \dots & 1 \\ 1 & 1 & -\lambda & \dots & 1 \\ \vdots & \vdots & \vdots & \ddots & \vdots \\ 1 & 1 & 1 & \dots & -\lambda \end{vmatrix}_{(n-1) \times (n-1)} \right. \\
&\quad \left. + (-1)^n(n-2-\lambda) \begin{vmatrix} -\lambda & 1 & 1 & \dots & 1 & 1 \\ 1 & -\lambda & 1 & \dots & 1 & 1 \\ 1 & 1 & -\lambda & \dots & 1 & 1 \\ \vdots & \vdots & \vdots & \ddots & \vdots & \vdots \\ 1 & 1 & 1 & \dots & -\lambda & 1 \\ 1 & 1 & 1 & \dots & 1 & -\lambda \end{vmatrix}_{n \times n} - \begin{vmatrix} -\lambda & 1 & 1 & \dots & 1 \\ 1 & -\lambda & 1 & \dots & 1 \\ 1 & 1 & -\lambda & \dots & 1 \\ \vdots & \vdots & \vdots & \ddots & \vdots \\ 1 & 1 & 1 & \dots & 1 \\ 1 & 1 & 1 & \dots & -\lambda \end{vmatrix}_{(n-1) \times (n-1)} \right)
\end{aligned}$$

ifadesi elde edilir. En son elde edilen determinantlar  $K_n$  ve  $K_{n-1}$  tam graflarının karakteristik polinomlarını veren determinantlar olup yerine yazıldığında istenen sonuca ulaşılmış olur.

Teorem 6.1.1.'in bir sonucu olarak  $Pol(K_n \vee_v K_n)$ 'in formülü  $\lambda$  cinsinden aşağıdaki şekilde de formülize edilebilir.

**Sonuç 6.1.2.**  $\lambda$ ,  $K_n \vee_v K_n$  grafının karakteristik polinomunun kökleri olmak üzere

$$Pol(K_n \vee_v K_n) = -(\lambda - n + 2)(\lambda^2 - (n - 2)\lambda - 2n + 2)(\lambda + 1)^{2n-4}$$

şeklinde yazılabilir.

**İspat.** Lemma 4.1.1. gereği  $Pol(K_n)$  ve  $Pol(K_{n-1})$  formülleri Teorem 6.1.1.'de yerine yazılırsa istenen sonuç kolaylıkla elde edilir.

**Örnek 6.1.3.**  $K_6 \vee_v K_6$  grafi için bu grafın karakteristik polinomunu ve spektrumunu hesaplayalım.

$n = 6$  için

$$\begin{aligned} Pol(K_6 \vee_v K_6) &= -(\lambda - 6 + 2)(\lambda^2 - (6 - 2)\lambda - 2 \cdot 6 + 2)(\lambda + 1)^{2 \cdot 6 - 4} \\ &= -(\lambda - 4)(\lambda^2 - 4\lambda - 10)(\lambda + 1)^8 \end{aligned}$$

şeklindedir ve bu polinomun kökleri spektrumu verir. Bu durumda  $S(K_6 \vee_v K_6)$  spektrum olmak üzere

$$S(K_6 \vee_v K_6) = \{-1^{(8)}, 4, 2 \pm \sqrt{14}\}$$

şeklindedir.

Yukarıdaki örnekte görüldüğü gibi  $K_n \vee_v K_n$  grafi için bulunan sonuçlar, bu grafın karakteristik polinomunu ve spektrumunu bulmada oldukça kolaylık sağlamaktadır.



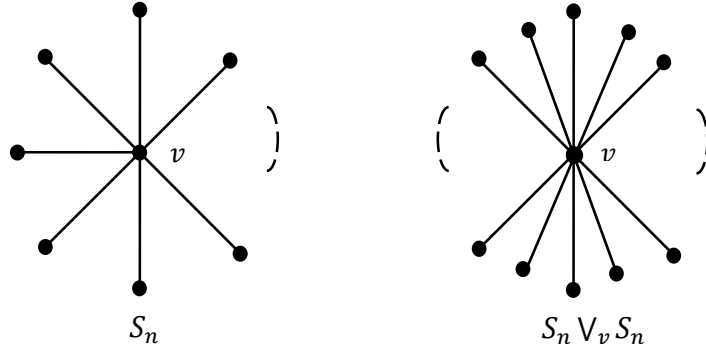
İkinci olarak  $S_n$  yıldız grafi için  $S_n \vee_v S_n$  köşe birleşim grafi ve bu grafın karakteristik polinomu incelenecektir.

**Teorem 6.1.4.**  $S_n$  yıldız grafi için bir  $v$  köşesinde köşe birleşim grafi olan  $S_n \vee_v S_n$  grafının karakteristik polinomu

$$Pol(S_n \vee_v S_n) = \begin{cases} Pol(S_{2n-1}), & v \text{ köşesi merkez köşe ise} \\ (-\lambda)^{n-3}(\lambda^2 - n + 2)(Pol(S_n) - (-\lambda)^{n-2}), & \text{diğer tüm durumlar} \end{cases}$$

şeklindedir.

**İspat.** İlk olarak alınan iki tane  $n$  köşeli  $S_n$  yıldız grafın merkez köşeleri  $v$  olarak isimlendirilsin. Bu  $v$  köşeleri özdeşlenecek şekilde iki graf birleştirildiğinde oluşan  $S_n \vee_v S_n$  grafi, merkezi  $v$  olan  $2n - 1$  köşeli  $S_{2n-1}$  yıldız grafıdır.



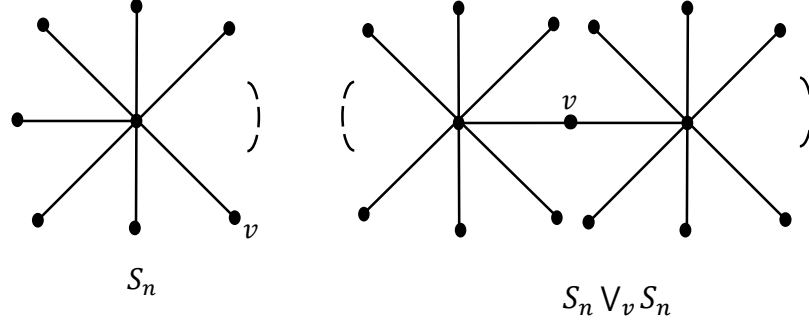
**Şekil 6.3.**  $S_n$  ve  $S_n$  graflarında merkez köşe birleşim grafi

Lemma 4.1.1.'e göre

$$Pol(S_n \vee_v S_n) = Pol(S_{2n-1}) = (-\lambda)^{n-2}(\lambda^2 - n + 1)$$

şeklindedir.

İkinci adımda  $v$  köşesi, alınan  $S_n$  grafları için merkez dışında herhangi bir köşe olacak şekilde etiklensin ve bu  $v$  köşelerini özdeşleyecek şekilde graflara köşe birleşim işlemi uygulansın. Elde edilen  $S_n V_v S_n$  grafinin daha anlaşılır olması için Şekil 6.4. verilmiştir.



Şekil 6.4.  $S_n$  ve  $S_n$  grafları için merkez dışında köşe birleşim grafi

$2n - 1$  köşeye sahip  $S_n V_v S_n$  grafinin komşuluk matrisi

$$A = \begin{bmatrix} 0 & 1 & 0 & \cdots & 0 & 1 & 0 & 0 & \cdots & 0 \\ 1 & 0 & 1 & \cdots & 1 & 0 & 0 & 0 & \cdots & 0 \\ 0 & 1 & 0 & \cdots & 0 & 0 & 0 & 0 & \cdots & 0 \\ \vdots & \vdots & \vdots & \ddots & \vdots & \vdots & \vdots & \vdots & \ddots & \vdots \\ 0 & 1 & 0 & \cdots & 0 & 0 & 0 & 0 & \cdots & 0 \\ 1 & 0 & 0 & \cdots & 0 & 0 & 1 & 1 & \cdots & 1 \\ 0 & 0 & 0 & \cdots & 0 & 1 & 0 & 0 & \cdots & 0 \\ 0 & 0 & 0 & \cdots & 0 & 1 & 0 & 0 & \cdots & 0 \\ \vdots & \vdots & \vdots & \ddots & \vdots & \vdots & \vdots & \vdots & \ddots & \vdots \\ 0 & 0 & 0 & \cdots & 0 & 1 & 0 & 0 & \cdots & 0 \\ 0 & 0 & 0 & \cdots & 0 & 1 & 0 & 0 & \cdots & 0 \end{bmatrix}_{(2n-1) \times (2n-1)}$$

şeklindedir. Literatürden  $S_n V_v S_n$  grafinin karakteristik polinomu

$$Pol(S_n V_v S_n) = |A - \lambda I_{2n-1}|$$

$$= \begin{vmatrix} -\lambda & 1 & 0 & \cdots & 0 & 1 & 0 & 0 & \cdots & 0 \\ 1 & -\lambda & 1 & \cdots & 1 & 0 & 0 & 0 & \cdots & 0 \\ 0 & 1 & -\lambda & \cdots & 0 & 0 & 0 & 0 & \cdots & 0 \\ \vdots & \vdots & \vdots & \ddots & \vdots & \vdots & \vdots & \vdots & \ddots & \vdots \\ 0 & 1 & 0 & \cdots & -\lambda & 0 & 0 & 0 & \cdots & 0 \\ 1 & 0 & 0 & \cdots & 0 & -\lambda & 1 & 1 & \cdots & 1 \\ 0 & 0 & 0 & \cdots & 0 & 1 & -\lambda & 0 & \cdots & 0 \\ 0 & 0 & 0 & \cdots & 0 & 1 & 0 & -\lambda & \cdots & 0 \\ \vdots & \vdots & \vdots & \ddots & \vdots & \vdots & \vdots & \vdots & \ddots & \vdots \\ 0 & 0 & 0 & \cdots & 0 & 1 & 0 & 0 & \cdots & 0 \\ 0 & 0 & 0 & \cdots & 0 & 1 & 0 & 0 & \cdots & -\lambda \end{vmatrix}_{(2n-1) \times (2n-1)}$$

ile bulunur. Yukarıdaki determinant incelendiğinde sol üstteki  $n \times n$ 'lik kısım  $S_n$  yıldız grafinin karakteristik polinomunu hesaplamaya yarayan determinanta, sağ altta kalan  $(n-1) \times (n-1)$ 'lik kısım ise  $S_{n-1}$  yıldız grafına ait karakteristik polinomu hesaplamaya yarayan determinanta ait olduğu kolayca görülür. Bu determinanta önce elementer sütun işlemlerinden  $\frac{1}{\lambda}C_{2n-1} + C_{n+1} \rightarrow C_{n+1}$ ,  $\frac{1}{\lambda}C_{2n-1} + C_{n+2} \rightarrow C_{n+2}$ ,  $\frac{1}{\lambda}C_{2n-1} + C_{n+3} \rightarrow C_{n+3}$ ,  $\cdots$ ,  $\frac{1}{\lambda}C_{2n-1} + C_{2n-2} \rightarrow C_{2n-2}$  işlemleri uygulanıp ardından da  $\frac{1}{\lambda}C_{n+2} + C_{n+1} \rightarrow C_{n+1}$ ,  $\frac{1}{\lambda}C_{n+3} + C_{n+1} \rightarrow C_{n+1}$ ,  $\frac{1}{\lambda}C_{n+4} + C_{n+1} \rightarrow C_{n+1}$ ,  $\cdots$ ,  $\frac{1}{\lambda}C_{2n-2} + C_{n+1} \rightarrow C_{n+1}$  işlemleri uygulandığında

$$= \begin{vmatrix} -\lambda & 1 & 0 & \cdots & 0 & 1 & 0 & 0 & \cdots & 0 \\ 1 & -\lambda & 1 & \cdots & 1 & 0 & 0 & 0 & \cdots & 0 \\ 0 & 1 & -\lambda & \cdots & 0 & 0 & 0 & 0 & \cdots & 0 \\ \vdots & \vdots & \vdots & \ddots & \vdots & \vdots & \vdots & \vdots & \ddots & \vdots \\ 0 & 1 & 0 & \cdots & -\lambda & 0 & 0 & 0 & \cdots & 0 \\ 1 & 0 & 0 & \cdots & 0 & \frac{n-2-\lambda^2}{\lambda} & 1 & 1 & \cdots & 1 \\ 0 & 0 & 0 & \cdots & 0 & 0 & -\lambda & 0 & \cdots & 0 \\ 0 & 0 & 0 & \cdots & 0 & 0 & 0 & -\lambda & \cdots & 0 \\ \vdots & \vdots & \vdots & \ddots & \vdots & \vdots & \vdots & \vdots & \ddots & \vdots \\ 0 & 0 & 0 & \cdots & 0 & 0 & 0 & 0 & \cdots & 0 \\ 0 & 0 & 0 & \cdots & 0 & 0 & 0 & 0 & \cdots & -\lambda \end{vmatrix}_{(2n-1) \times (2n-1)}$$

determinantı elde edilir. Bu determinantta her  $i = n + 2, \dots, 2n - 1$  ve her  $j = 1, \dots, n + 1$  için  $a_{ij} = 0$  olduğu görülmektedir. Sıfıra eşit olan terimler, determinantın hesaplanmasında kolaylık sağlayan bir metodu kullanma olanağı sağlar. Bu metodun bir sonucu olarak yukarıdaki determinant, determinantın sol üst kısmındaki  $(n + 1) \times (n + 1)$ 'lik terimlerin determinantı ile sağ alt kısımdaki  $(n - 2) \times (n - 2)$ 'lik terimlerin determinantı çarpımına eşittir. Bu çarpım

$$= \begin{vmatrix} -\lambda & 1 & 0 & \dots & 0 & 1 \\ 1 & -\lambda & 1 & \dots & 1 & 0 \\ 0 & 1 & -\lambda & \dots & 0 & 0 \\ \vdots & \vdots & \vdots & \ddots & \vdots & \vdots \\ 0 & 1 & 0 & \dots & -\lambda & \vdots \\ 1 & 0 & 0 & \dots & 0 & \frac{-\lambda^2 + (n-3)\lambda + 1}{\lambda} \end{vmatrix}_{(n+1) \times (n+1)} \cdot \begin{vmatrix} -\lambda & 0 & 0 & \dots & 0 \\ 0 & -\lambda & 0 & \dots & 0 \\ 0 & 0 & -\lambda & \dots & 0 \\ \vdots & \vdots & \vdots & \ddots & \vdots \\ 0 & 0 & 0 & \dots & -\lambda \end{vmatrix}_{(n-2) \times (n-2)}$$

şeklinde gösterilir. Elde edilen ikinci determinant  $(n - 2) \times (n - 2)$  tipindeki diyagonal matrisin determinantı olup değeri diyagonal elemanların çarpımına eşittir. Baştaki  $(n + 1) \times (n + 1)$  tipindeki kare matrisin determinantı ise son satıra göre açılırsa yukarıdaki determinantlar çarpımı

$$= (-\lambda)^{n-2} \left( \frac{-\lambda^2 + (n-3)\lambda + 1}{\lambda} Pol(S_n) + (-1)^{n+2} \begin{vmatrix} 1 & 0 & 0 & \dots & 0 & 1 \\ -\lambda & 1 & 1 & \dots & 1 & 0 \\ 1 & -\lambda & 0 & \dots & 0 & 0 \\ 1 & 0 & -\lambda & \dots & 0 & 0 \\ \vdots & \vdots & \vdots & \ddots & \vdots & \vdots \\ 1 & 0 & 0 & \dots & -\lambda & 0 \end{vmatrix}_{n \times n} \right)$$

şekline dönüşür. Son determinanta, uygun elementer satır ve sütun işlemleri uygulanmaya devam edildiğinde

$$= (-\lambda)^{n-2} \left( \frac{-\lambda^2 + (n-3)\lambda + 1}{\lambda} \cdot Pol(S_n) \right)$$

$$+(-1)^{n+2} \left( \frac{-\lambda^2 + n - 2}{\lambda} \right) \begin{pmatrix} 0 & 0 & 0 & \cdots & 0 & 1 \\ 1 & 0 & 0 & \cdots & 0 & 0 \\ 1 & -\lambda & 0 & \cdots & 0 & 0 \\ 1 & 0 & -\lambda & \cdots & 0 & 0 \\ \vdots & \vdots & \vdots & \ddots & \vdots & \vdots \\ 1 & 0 & 0 & \cdots & -\lambda & 0 \end{pmatrix}_{n \times n}$$

toplamı elde edilir. Bu toplam yer alan  $n \times n$  tipindeki determinanta her  $i = 3, \dots, n$  için  $-R_2 + R_i \rightarrow R_i$  şeklinde elementer satır işlemi uygulanıp ardından da son satıra göre açılırsa istenilen sonuca ulaşılır.

Teorem 6.1.4'ün bir sonucu olarak  $Pol(S_n V_v S_n)$ 'in formülü  $\lambda$  cinsinden aşağıdaki şekilde de formülize edilebilir.

**Sonuç 6.1.5.**  $\lambda$ ,  $S_n V_v S_n$  grafının karakteristik polinomunun kökleri olmak üzere

$$Pol(S_n V_v S_n) = -\lambda^{2n-5}(\lambda^2 - n + 2)(\lambda^2 - n)$$

şeklinde yazılabilir.

**İspat.** Lemma 4.1.1. kullanılarak  $Pol(S_n)$  bağıntısı Teorem 6.1.4.'te yerine yazılırsa istenen sonuç kolaylıkla elde edilir.

**Örnek 6.1.6.**  $v$  köşesi merkez köşe olmasın. Bu durumda  $S_7 V_v S_7$  grafının karakteristik polinomunu ve spektrumunu hesaplayalım.

$n = 7$  için

$$\begin{aligned} Pol(S_7 V_v S_7) &= -\lambda^{2 \cdot 7 - 5}(\lambda^2 - 7 + 2)(\lambda^2 - 7) \\ &= -\lambda^9(\lambda^2 - 5)(\lambda^2 - 7) \end{aligned}$$

şeklindedir ve bu polinomun kökleri spektrumu verir. Bu durumda  $S(S_7 V_v S_7)$  spektrum olmak üzere

$$S(S_7 V_v S_7) = \{0^{(9)}, \mp\sqrt{5}, \mp\sqrt{7}\}$$

şeklindedir.

Bu bölümde son olarak  $P_n$  yol grafi için köşe birleşim grafi incelenecektir.

**Teorem 6.1.7.**  $P_n$  yol grafinde, uç köşe olan bir  $v$  köşesi için köşe birleşim grafi  $P_n V_v P_n$ 'in karakteristik polinomu

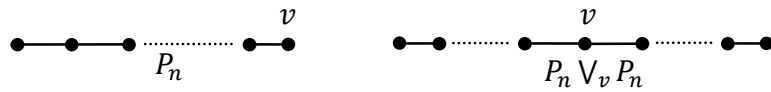
$$Pol(P_n V_v P_n) = Pol(P_{n-1})[Pol(P_n) - Pol(P_{n-2})]$$

şeklindedir. Ayrıca bu eşitlik

$$Pol(P_n V_v P_n) = -Pol(P_{n-1})[\lambda Pol(P_{n-1}) + 2Pol(P_{n-2})]$$

olarak da ifade edilebilir.

**İspat.** İki tane  $P_n$  grafi alınarak her ikisinin de uç noktalarından biri  $v$  olarak isimlendirilsin. Ardından ise bu iki aynı isme sahip köşeler özdeşleşecek şekilde birleştirilip elde edilen graf  $P_n V_v P_n$  olsun.



**Şekil 6.5.**  $P_n$  ve  $P_n V_v P_n$  köşe birleşim grafi

Yukarıdaki Şekil 6.5.'te de görüldüğü gibi elde edilen  $P_n V_v P_n$  grafi  $2n - 1$  köşeye sahip  $P_{2n-1}$  yol grafidir. Lemma 4.1.3. ve Teorem 4.2.5. gereği sonuç aşikardır.

**Sonuç 6.1.8.**  $\lambda$ ,  $P_n V_v P_n$  grafinin karakteristik polinomunun kökleri olmak üzere bu polinom

$$\sum_{k=0}^{n-1} (-1)^{k+1} \binom{2n-k-1}{k} \lambda^{2n-k-1}$$

olarak da ifade edilebilir.

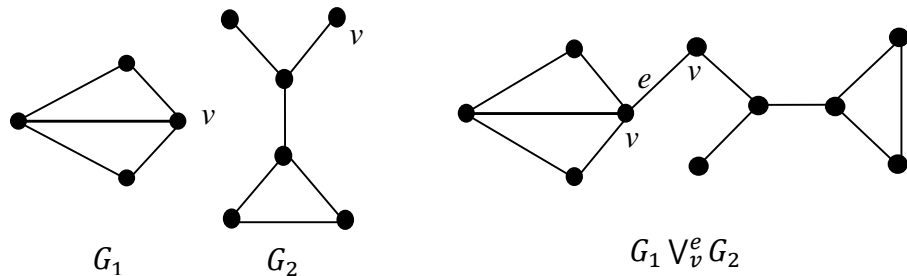
**İspat.** Lemma 4.1.3.'te verilen eşitlikte  $P_n, P_{n-1}$  ve  $P_{n-2}$  graflarına ait polinomlar Teorem 6.1.7'de yerine yazıldığında istenilen sonuç elde edilir.

## 6.2. İki Grafın Birer Köşelerinden Yeni Bir Kenar İle Birleşimi

Bu bölümde ise köprü görevi gören ilave bir kenar ile oluşturulacak farklı bir birleşim metodu tanımlanacaktır:

**Tanım 6.2.**  $G_1$  ve  $G_2$  iki graf olsun.  $V(G_1)$  ve  $V(G_2)$  kümelerinden belirlenecek birer köşe  $v$  olarak isimlendirilsin. İsimlendirilen  $v$  köşelerinin arasına bir  $e$  kenarı çizilerek  $G_1$  ve  $G_2$  graflarını birleştirilsin. Elde edilen bu grafa, verilen grafların  $v$  köşesinde yeni bir kenar ile birleşimi veya kısaca  $v$  köşesinde kenar birleşimi denir ve  $G_1 \vee_v^e G_2$  ile gösterilir.

Burada  $G_1 \vee_v^e G_2$  grafının köşe kümesi  $V(G_1 \vee_v^e G_2) = V(G_1) \cup V(G_2)$  ve kenar kümesi  $E(G_1 \vee_v^e G_2) = E(G_1) \cup E(G_2) \cup \{e\}$ 'dir. Ayrıca  $|V(G_1)| = n_1$  ve  $|V(G_2)| = n_2$  olmak üzere  $|V(G_1 \vee_v^e G_2)| = n_1 + n_2$  ve ayrıca  $|E(G_1)| = m_1$  ve  $|E(G_2)| = m_2$  olmak üzere  $|E(G_1 \vee_v^e G_2)| = m_1 + m_2 + 1$ 'dir.



Şekil 6.6.  $G_1, G_2$  ve  $G_1 \vee_v^e G_2$  grafları

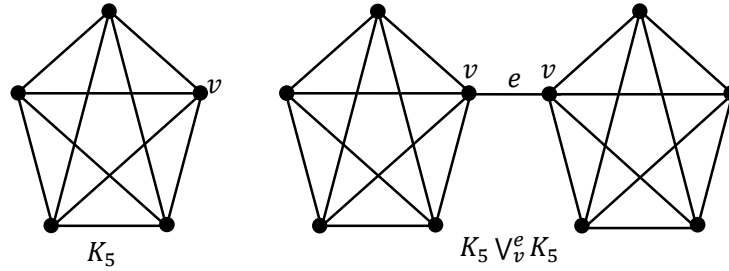
Bu bölümde iki aynı grafın belirlenen bir köşede simetrik olacak şekilde köprü görevi gören bir kenar eklenerek birleştirilmesi ile oluşan graflar ve bu grafların karakteristik polinomları hesaplanacaktır. Bu hesaplamalar büyük bir grafın karakteristik polinomunu baştan hesaplamak yerine bileşenler cinsinden polinomu oluşturma kolaylığı sağlayacak ve bu polinomun kökleri sayesinde de grafların enerjileri kolayca ifade edilebilecektir. Literatürden de iyi bilinen  $P_n$ ,  $K_n$  ve  $S_n$  graflarının karakteristik polinomları kullanılarak  $K_n V_v^e K_n$ ,  $S_n V_v^e S_n$  ve  $P_n V_v^e P_n$  graflarının karakteristik polinomları formüle edilecektir. İlk olarak  $K_n$  tam grafları için bir  $v$  köşesinde kenar birleşim grafi oluşturulup bu grafın polinomunu veren bağıntı yazılacaktır.

**Teorem 6.2.1.**  $K_n$  bir tam graf olmak üzere,  $K_n V_v^e K_n$  grafının karakteristik polinomu

$$Pol(K_n V_v^e K_n) = \frac{(\lambda^2 - (n-3)\lambda - (2n-3))(\lambda^2 - (n-1)\lambda - 1)(\lambda+1)^{n-3}}{\lambda - n + 1} \cdot Pol(K_n)$$

dir.

**İspat.**  $K_n V_v^e K_n$  grafı  $n = 5$  değeri için Şekil 6.7.'de çizilmiştir.



Şekil 6.7.  $K_5$  ve  $K_5 V_v^e K_5$  grafi

Benzer şekilde  $K_n$  tam grafi için  $v$  köşesinde kenar birleşim grafi olan  $2n$  köşeli  $K_n V_v^e K_n$  grafi oluşturulduğunda



$$A = \begin{bmatrix} 0 & 1 & \cdots & 1 & 1 & 1 & 0 & \cdots & \cdots & 0 \\ 1 & 0 & \cdots & 1 & 1 & 0 & 0 & \cdots & \cdots & 0 \\ 1 & 1 & \cdots & 1 & 1 & 0 & 0 & \cdots & \cdots & 0 \\ \vdots & \vdots & \ddots & \vdots & \vdots & \vdots & \vdots & \ddots & \vdots & \vdots \\ 1 & 1 & \cdots & 0 & 1 & 0 & 0 & \cdots & \cdots & 0 \\ 1 & 1 & \cdots & 1 & 0 & 0 & 0 & \cdots & \cdots & 0 \\ 1 & 0 & \cdots & 0 & 0 & 0 & 1 & \cdots & \cdots & 1 \\ 0 & 0 & \cdots & 0 & 0 & 1 & 0 & \cdots & \cdots & 1 \\ \vdots & \vdots & \ddots & \vdots & \vdots & \vdots & \vdots & \ddots & \vdots & \vdots \\ 0 & 0 & \cdots & 0 & 0 & 1 & 1 & \cdots & \cdots & 1 \\ 0 & 0 & \cdots & 0 & 0 & 1 & 1 & \cdots & \cdots & 0 \end{bmatrix}_{2n \times 2n}$$

komşuluk matrisi elde edilir. Yukarıdaki matris incelendiğinde sol üstte ve sağ altta kalan  $n \times n$ 'lik kısımların  $K_n$  tam grafına ait komşuluk matrisi olduğu kolayca görülür.  $A$  matrisi kullanılarak elde edilen  $K_n \vee_v^e K_n$  grafına ait karakteristik polinom

$$Pol(K_n \vee_v^e K_n) = |A - \lambda I_{2n}|$$

$$= \begin{vmatrix} -\lambda & 1 & \cdots & 1 & 1 & 1 & 0 & \cdots & 0 & 0 \\ 1 & -\lambda & \cdots & 1 & 1 & 0 & 0 & \cdots & 0 & 0 \\ \vdots & \vdots & \ddots & \vdots & \vdots & \vdots & \vdots & \ddots & \vdots & \vdots \\ 1 & 1 & \cdots & -\lambda & 1 & 0 & 0 & \cdots & 0 & 0 \\ 1 & 1 & \cdots & 1 & -\lambda & 0 & 0 & \cdots & 0 & 0 \\ 1 & 0 & \cdots & 0 & 0 & -\lambda & 1 & \cdots & 1 & 1 \\ 0 & 0 & \cdots & 0 & 0 & 1 & -\lambda & \cdots & 1 & 1 \\ \vdots & \vdots & \ddots & \vdots & \vdots & \vdots & \vdots & \ddots & \vdots & \vdots \\ 0 & 0 & \cdots & 0 & 0 & 1 & 1 & \cdots & -\lambda & 1 \\ 0 & 0 & \cdots & 0 & 0 & 1 & 1 & \cdots & 1 & -\lambda \end{vmatrix}_{2n \times 2n}$$

şeklinde oluşturulur. Bu determinanтта ilk olarak elementer satır işlemlerinden her  $i = n + 3, n + 4, \dots, 2n$  için  $-R_{n+2} + R_i \rightarrow R_i$  operasyonu ardından ise elementer sütun işlemlerinden  $C_{n+2} + C_{n+3} + C_{n+4} + \cdots + C_{2n} \rightarrow C_{n+2}$  operasyonu uygulanırsa

$$= \begin{vmatrix} -\lambda & 1 & \cdots & 1 & 1 & 0 & 0 & \cdots & 0 & 0 \\ 1 & -\lambda & \cdots & 1 & 0 & 0 & 0 & \cdots & 0 & 0 \\ \vdots & \vdots & \ddots & \vdots & \vdots & \vdots & \vdots & \ddots & \vdots & \vdots \\ 1 & 1 & \cdots & -\lambda & 0 & 0 & 0 & \cdots & 0 & 0 \\ 1 & 0 & \cdots & 0 & -\lambda & (n-1) & 1 & \cdots & 1 & 1 \\ 0 & 0 & \cdots & 0 & 1 & (n-2-\lambda) & 1 & \cdots & 1 & 1 \\ 0 & 0 & \cdots & 0 & 0 & 0 & -(1+\lambda) & \cdots & 0 & 0 \\ \vdots & \vdots & \ddots & \vdots & \vdots & \vdots & \vdots & \ddots & \vdots & \vdots \\ 0 & 0 & \cdots & 0 & 0 & 0 & 0 & \cdots & -(1+\lambda) & 0 \\ 0 & 0 & \cdots & 0 & 0 & 0 & 0 & \cdots & 0 & -(1+\lambda) \end{vmatrix}_{2n \times 2n}$$

elde edilir. Burada her  $i = n + 3, n + 4, \dots, 2n$  ve  $j = 1, 2, \dots, n + 2$  için  $a_{ij} = 0$  olup determinantın değeri determinantın sol üstünde yer alan  $(n + 2) \times (n + 2)$ 'lik kısmın determinantı ile sağ altta yer alan  $(n - 3) \times (n - 3)$ 'lük kısmın determinantları çarpımına eşittir. Bu eşitlik

$$= \begin{vmatrix} -\lambda & 1 & 1 & \cdots & 1 & 0 \\ 1 & -\lambda & 1 & \cdots & 0 & 0 \\ 1 & 1 & -\lambda & \cdots & 0 & 0 \\ \vdots & \vdots & \vdots & \ddots & \vdots & \vdots \\ 1 & 0 & 0 & \cdots & -\lambda & (n-1) \\ 0 & 0 & 0 & \cdots & 1 & (n-2-\lambda) \end{vmatrix}_{(n+2) \times (n+2)} \cdot \begin{vmatrix} -(1+\lambda) & 0 & \cdots & 0 \\ 0 & -(1+\lambda) & \cdots & 0 \\ \vdots & \vdots & \ddots & \vdots \\ 0 & 0 & \cdots & -(1+\lambda) \end{vmatrix}_{(n-3) \times (n-3)}$$

şeklindedir. Elde edilen ikinci determinant  $(n - 3) \times (n - 3)$  tipindeki diyagonal matrisin determinantı olup değeri diyagonal elemanların çarpımına eşittir. Baştaki  $(n + 2) \times (n + 2)$  tipindeki kare matrisin determinantı ise son satıra göre açılırsa yukarıdaki determinantlar çarpımı

$$= (-1 - \lambda)^{n-3} \cdot ((-1)^{2n+1}) \begin{vmatrix} -\lambda & 1 & 1 & \cdots & 1 & 0 \\ 1 & -\lambda & 1 & \cdots & 1 & 0 \\ 1 & 1 & -\lambda & \cdots & 1 & 0 \\ \vdots & \vdots & \vdots & \ddots & \vdots & \vdots \\ 1 & 1 & 1 & \cdots & -\lambda & 0 \\ 1 & 0 & 0 & \cdots & 0 & -\lambda \end{vmatrix}_{(n+1) \times (n+1)}$$

$$+(n-2-\lambda) \begin{pmatrix} -\lambda & 1 & 1 & \cdots & 1 & 1 \\ 1 & -\lambda & 1 & \cdots & 1 & 0 \\ 1 & 1 & -\lambda & \cdots & 1 & 0 \\ \vdots & \vdots & \vdots & \ddots & \vdots & \vdots \\ 1 & 1 & 1 & \cdots & -\lambda & 0 \\ 1 & 0 & 0 & \cdots & 0 & -\lambda \end{pmatrix}_{(n+1) \times (n+1)}$$

elde edilir. Her iki determinant son sütunlarına göre açılıp gerekli düzenlemeler yapıldığında  $K_n$  ve  $K_{n-1}$  tam graflarının karakteristik polinomlarını veren yeni determinantlar elde edilir. Bu polinomlar yerine yazıldığında istenen sonuca ulaşılır.

**Sonuç 6.2.2.**  $\lambda$ ,  $K_n V_v^e K_n$  grafinin karakteristik polinomunun kökleri olmak üzere

$$Pol(K_n V_v^e K_n) = (\lambda + 1)^{2n-4} (\lambda^2 - (n-1)\lambda - 1) (\lambda^2 - (n-3)\lambda - (2n-3))$$

dir.

**İspat.** Lemma 4.1.1. kullanılarak  $Pol(K_n)$ 'in formülü Teorem 6.2.1 de yerine yazılırsa istenen sonuç kolaylıkla elde edilir.

**Örnek 6.2.3.**  $K_7 V_v^e K_7$  grafinin karakteristik polinomunu ve spektrumunu hesaplayalım.

$n = 7$  için

$$\begin{aligned} Pol(K_7 V_v^e K_7) &= (\lambda + 1)^{2 \cdot 7 - 4} (\lambda^2 - (7-1)\lambda - 1) (\lambda^2 - (7-3)\lambda - (2 \cdot 7 - 3)) \\ &= (\lambda + 1)^{10} (\lambda^2 - 6\lambda - 1) (\lambda^2 - 4\lambda - 11) \end{aligned}$$

şeklindedir ve bu polinomun kökleri spektrumunu verir. Bu durumda  $S(K_7 V_v^e K_7)$  spektrum olmak üzere

$$S(K_7 V_v^e K_7) = \{-1^{(10)}, 2 \pm \sqrt{15}, 3 \pm \sqrt{10}\}$$

olur.

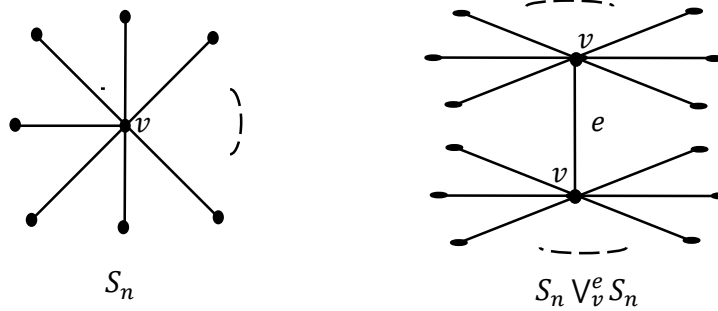
$K_n V_v^e K_n$  grafının karakteristik polinomunu ve spektrumunu bulmada oldukça kolaylık sağlayan yukarıdaki sonuçların benzerleri ikinci olarak da  $S_n$  yıldız grafi olmak üzere  $S_n V_v^e S_n$  için oluşturulacaktır.

**Teorem 6.2.4.**  $S_n$  yıldız grafi için  $v$  köşesinde kenar birleşim grafi olan  $S_n V_v^e S_n$ 'in karakteristik polinomu

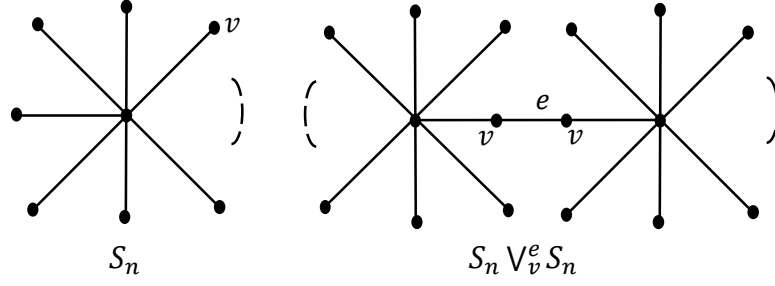
$$Pol(S_n V_v^e S_n) = \begin{cases} -\lambda^{2n-2} + (-\lambda)^{n-2}(\lambda^2 - n + 1)Pol(S_n), & v \text{ köşesi merkez köşe ise} \\ (-\lambda)^{n-2} \left( (\lambda^2 - n + 1)Pol(S_n) + \left( \frac{\lambda^2 - n + 2}{\lambda} \right) Pol(S_{n-1}) \right) & \text{diğer durumlar} \end{cases}$$

şeklindedir.

**İspat.**  $S_n$  yıldız grafında,  $v$  köşesi merkez köşe olmak üzere  $v$  köşesinde kenar birleşim grafi olan  $S_n V_v^e S_n$  Şekil 6.8.'de,  $v$  köşesi uç köşe olmak üzere  $v$  köşesinde kenar birleşim grafi olan  $S_n V_v^e S_n$  Şekil 6.9.'da verilmiştir.



**Şekil 6.8.**  $S_n$  ile  $v$  merkez köşede kenar birleşim grafi  $S_n V_v^e S_n$



**Şekil 6.9.**  $S_n$  ve  $v$  uç köşede kenar birleşim grafi  $S_n V_v^e S_n$

$S_n V_v^e S_n$  grafinin karakteristik polinomunu bulmak için öncelikle oluşturulan grafların  $A$  komşuluk matrisleri oluşturulur. Ardından ise  $|A - \lambda I_{2n}|$  determinantı yazılıp  $Pol(K_n V_v^e K_n)$  için yapılan elementer işlemlere benzer işlemler uygulandığında istenilen sonuçlara kolayca ulaşılır.

**Sonuç 6.2.5.**  $\lambda$ ,  $S_n V_v^e S_n$  grafinin karakteristik polinomunun kökleri olmak üzere

$$Pol(S_n V_v^e S_n) = \begin{cases} \lambda^{2n-4}((\lambda^2 - n + 1)^2 - \lambda^2), & v \text{ köşesi merkez köşe ise} \\ \lambda^{2n-6}((\lambda^3 - (n-1)\lambda)^2 - (\lambda^2 - n + 2)^2) & \text{diğer durumlar} \end{cases}$$

ile ifade edilebilir.

**İspat.** Lemma 4.1.1.'de verilen  $Pol(S_n)$  bağıntısı, Teorem 6.2.4.'de yerine yazılırsa istenilen sonuca kolayca ulaşılır.

**Örnek 6.2.6.**  $v$  köşesi  $S_6$  grafinin merkez köşesi olmak üzere  $S_6 V_v^e S_6$  grafinin karakteristik polinomunu ve spektrumunu hesaplayalım.

$n = 6$  için

$$\begin{aligned} Pol(S_6 V_v^e S_6) &= \lambda^{2 \cdot 6 - 4}((\lambda^2 - 6 + 1)^2 - \lambda^2) \\ &= \lambda^8((\lambda^2 - 5)^2 - \lambda^2) \\ &= \lambda^8(\lambda^2 + \lambda - 5)(\lambda^2 - \lambda - 5) \end{aligned}$$

şeklindedir ve bu polinomun kökleri spektrumu verir. Bu durumda  $S(S_6 V_v^e S_6)$  spektrum olmak üzere

$$S(S_6 V_v^e S_6) = \left\{ 0^{(8)}, \frac{1 \pm \sqrt{21}}{2}, \frac{-1 \pm \sqrt{21}}{2} \right\}$$

olur.

**Örnek 6.2.7.**  $v$  köşesi  $S_5$  grafının bir uç köşesi olmak üzere  $S_5 V_v^e S_5$  grafının karakteristik polinomunu hesaplayalım.

$n = 5$  için

$$\begin{aligned} Pol(S_5 V_v^e S_5) &= \lambda^{2 \cdot 5 - 6} ((\lambda^3 - (5 - 1)\lambda)^2 - (\lambda^2 - 5 + 2)^2) \\ &= \lambda^4 ((\lambda^3 - 4\lambda)^2 - (\lambda^2 - 3)^2) \\ &= \lambda^4 (\lambda^3 - 4\lambda + \lambda^2 - 3)(\lambda^3 - 4\lambda - \lambda^2 + 3) \end{aligned}$$

şeklindedir.

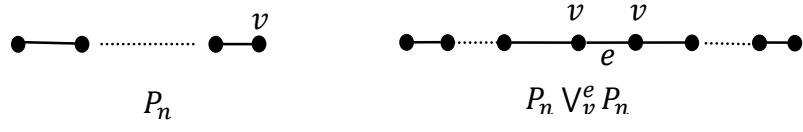
Bu bölümde son olarak  $P_n$  yol grafi olmak üzere  $P_n V_v^e P_n$  köşe birleşim grafının polinomu incelenecektir.

**Teorem 6.2.8.**  $P_n$  yol grafının  $v$  uç köşesinde kenar birleşim grafi olan  $P_n V_v^e P_n$ 'in karakteristik polinomu

$$Pol(P_n V_v^e P_n) = -\lambda Pol(P_n) Pol(P_{n-1}) - Pol^2(P_{n-1}) - Pol(P_n) Pol(P_{n-2})$$

şeklindedir.

**İspat.**  $P_n$  yol grafında  $v$  uç köşesinde kenar birleşim grafi olan  $P_n V_v^e P_n$  Şekil 6.10.'da verilmiş olup bu grafın  $P_{2n}$  grafına ait olduğu aşikardır.



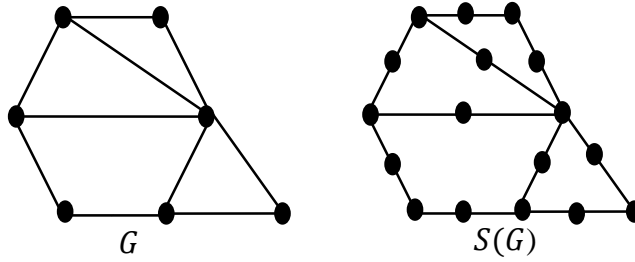
**Şekil 6.10.**  $P_n$  ve  $P_n V_v^e P_n$  grafi

$Pol(K_n V_v^e K_n)$  ve  $Pol(S_n V_v^e S_n)$  için yapılan hesaplamaların benzer adımları uygulandığında istenilen sonuca ulaşılır.

## 7. ALT BÖLÜM GRAFLARININ KARAKTERİSTİK POLİNOMLARI, İNDİRGEME BAĞINTILARI VE ENERJİLERİ

Yaygın bir kullanım alanına sahip olan grafları her an farklı bir şekilde görmek mümkündür. Bu bölümde alt bölüm graflarının tanımını verilir ve literatürde sıkça karşılaşılan özel graf türleri için önce alt bölüm grafları oluşturulacak ardından ise bu alt bölüm grafların karakteristik polinomları belirlenecektir. Bununla birlikte belirlenen bu polinomların literatürde bilinen polinomlar cinsinden indirgeme bağıntıları ve son olarak da enerji bağıntıları verilecektir.

**Tanım 7.1.**  $G(V, E)$  bağlantılı, döngü içermeyen ve yönlendirilmemiş bir graf olsun.  $G$  grafının her bir kenarına derecesi 2 olacak şekilde yeni köşeler eklenmesi ile oluşturulan yeni grafa **alt bölüm grafi** denir ve  $S(G)$  ile gösterilir.



Şekil 7.1. Bir  $G$  grafi ve bu grafın  $S(G)$  alt bölüm grafi

### 7.1. Alt Bölüm Grafların Karakteristik Polinomları

Bu bölümde literatürden iyi bilinen  $P_n$ ,  $C_n$ ,  $S_n$ ,  $K_n$  ve  $K_{m,n}$  graflarına ait alt bölüm grafları oluşturulup ardından elde edilen bu grafların karakteristik polinomları belirlenecektir.

İlk olarak  $P_n$  grafına Tanım 7.1'de verilen bilgi doğrultusunda alt bölüm işlemi uygulanacak ve elde edilen bölüm grafi incelenecektir.

**Teorem 7.1.1.**  $P_n$ 'in alt bölüm grafi olan  $S(P_n)$  grafının karakteristik polinomu



$$Pol(\mathbf{S}(P_n)) = \sum_{k=0}^{n-1} (-1)^{k+1} \binom{2n-k-1}{k} \lambda^{2n-2k-1}$$

şeklindedir.

**İspat.**  $P_n$  yol grafında her kenara derecesi 2 olacak şekilde yeni köşeler eklenmesi ile oluşan  $\mathbf{S}(P_n)$  grafi Şekil 7.2.'de verilmiş olup bu grafın  $P_{2n-1}$  grafına ait kolayca görülebilmektedir.



Şekil 7.2.  $P_n$  ve  $\mathbf{S}(P_n)$  grafi

Bu durumda Sonuç 6.1.8 'den dolayı

$$Pol(\mathbf{S}(P_n)) = \sum_{k=0}^{n-1} (-1)^{k+1} \binom{2n-k-1}{k} \lambda^{2n-2k-1}$$

şeklindedir.

İkinci olarak  $C_n$  grafi için alt bölüm işleminde elde edilen  $\mathbf{S}(C_n)$  grafi incelenecektir.

**Teorem 7.1.2.**  $C_n$ 'in alt bölüm grafi olan  $\mathbf{S}(C_n)$  grafının karakteristik polinomu

$$Pol(\mathbf{S}(C_n)) = \left[ \sum_{k=0}^{n-1} (-1)^k T(2n, k) \lambda^{2n-2k} - 2 \right] + 2(-1)^n$$

şeklindedir. Burada  $T(2n, k) = \binom{2n-k}{k} + \binom{2n-k-1}{k-1}$  olup  $k \leq n$  ve  $T(2n, 0) = 1$  dir.

**İspat.**  $C_n$  devir grafında her kenara derecesi 2 olacak şekilde yeni köşeler eklenmesi ile oluşan  $\mathbf{S}(C_n)$  grafının  $C_{2n}$  grafi ile aynı graflar olduğu oldukça açıktır. O halde

$$Pol(\mathbf{S}(C_n)) = Pol(C_{2n})$$

şeklindedir. Bu durumda Lemma 4.1.4. kullanılarak gerekli düzenlemeler yapıldığında

$$Pol(\mathbf{S}(C_n)) = Pol(C_{2n}) = \left[ \sum_{k=0}^{n-1} (-1)^k T(2n, k) \lambda^{2n-2k} - 2 \right] + 2(-1)^n$$

olacak şekilde istenilen sonuca ulaşılır.

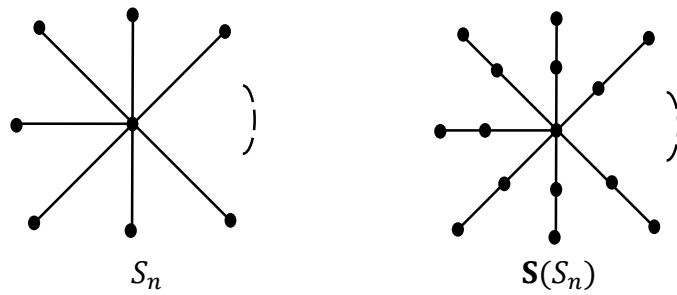
Bir sonraki adımda  $S_n$  grafi için alt bölüm işlemiyle elde edilen  $\mathbf{S}(S_n)$  grafi incelenecektir.

**Teorem 7.1.3.**  $S_n$ 'in alt bölüm grafi olan  $\mathbf{S}(S_n)$  grafinin karakteristik polinomu

$$Pol(\mathbf{S}(S_n)) = -\lambda(\lambda^2 - 1)^{n-2}(\lambda^2 - n)$$

şeklindedir.

**İspat.**  $S_n$  devir grafinde her kenara derecesi 2 olacak şekilde yeni köşeler eklenmesi ile oluşan  $\mathbf{S}(S_n)$  grafi, daha anlaşılır olması açısından Şekil 7.3.'de verilmiştir.



**Şekil 7.3.**  $S_n$  ve  $S_n$ 'in alt bölüm grafi  $\mathbf{S}(S_n)$

Yukarıda verilen şekil dikkate alınarak oluşturulan  $\mathbf{S}(S_n)$  grafinin  $A$  komşuluk matrisi

$$A = \begin{bmatrix} 0 & 0 & \cdots & 0 & 1 & 0 & 0 & \cdots & 0 & 0 \\ 0 & 0 & \cdots & 0 & 0 & 1 & 0 & \cdots & 0 & 0 \\ 0 & 0 & \cdots & 0 & 0 & 0 & 1 & \cdots & 0 & 0 \\ \vdots & \vdots & \ddots & \vdots & \vdots & \vdots & \vdots & \ddots & \vdots & \vdots \\ 0 & 0 & \cdots & \cdots & 0 & 0 & 0 & \cdots & 1 & 0 \\ 1 & 0 & \cdots & \cdots & 0 & 0 & 0 & \cdots & 0 & 1 \\ 0 & 1 & \cdots & \cdots & 0 & 0 & 0 & \cdots & 0 & 1 \\ 0 & 0 & 1 & \cdots & 0 & 0 & 0 & \cdots & 0 & 1 \\ \vdots & \vdots & \vdots & \vdots & \vdots & \vdots & \vdots & \ddots & \vdots & \vdots \\ 0 & 0 & 0 & \cdots & 1 & 0 & 0 & \cdots & 0 & 1 \\ 0 & 0 & 0 & \cdots & 0 & 1 & 1 & \cdots & 1 & 0 \end{bmatrix}_{(2n-1) \times (2n-1)}$$

şeklindedir. Bu matris dikkatli bir şekilde incelendiğinde satır ve sütunlarının bazı özel durumlar oluşturduğu görülmektedir. Matrisin içi bu özel durumlar göz önünde bulundurularak parçalandığında  $0_{(n-1) \times (n-1)}$ ,  $0_{1 \times (n-1)}$ ,  $0_{(n-1) \times 1}$ ,  $0_{1 \times 1}$ ,  $1_{(n-1) \times 1}$ ,  $1_{1 \times (n-1)}$  ve  $I_{n-1}$  matrisleri elde edilir. Bu tezde  $I_{n-1}$  ifadesi  $n - 1$  boyutlu birim matris için,  $0_{(n-1) \times (n-1)}$  ifadesi  $n - 1$  boyutlu sıfır matrisi için,  $0_{1 \times (n-1)}$  ifadesi tüm elemanları 0 dan oluşan  $1 \times (n - 1)$  boyutlu matris için,  $0_{(n-1) \times 1}$  ifadesi tüm elemanları 0 dan oluşan  $(n - 1) \times 1$  boyutlu matris için,  $0_{1 \times 1}$  ifadesi elemanı yalnızca 0 olan  $1 \times 1$  boyutlu kare matris için kullanılırken elemanları 1'den oluşan matrisler için de benzer gösterimlerden faydalanılacaktır. Bu gösterimleri kullanarak yukarıdaki komşuluk matrisi tekrar düzenlendiğinde

$$A = \begin{bmatrix} 0_{(n-1) \times (n-1)} & I_{n-1} & 0_{(n-1) \times 1} \\ I_{n-1} & 0_{(n-1) \times (n-1)} & 1_{(n-1) \times 1} \\ 0_{(n-1) \times 1} & 1_{1 \times (n-1)} & 0_{1 \times 1} \end{bmatrix}_{(2n-1) \times (2n-1)}$$

elde edilir.  $\mathbf{S}(S_n)$  grafinin karakteristik polinomu  $Pol(\mathbf{S}(S_n)) = |\lambda I_{2n-1} - A|$  olup

$$Pol(\mathbf{S}(S_n)) = \begin{vmatrix} \lambda I_{n-1} & -I_{n-1} & 0_{(n-1) \times 1} \\ -I_{n-1} & \lambda I_{n-1} & -1_{(n-1) \times 1} \\ 0_{1 \times (n-1)} & -1_{1 \times (n-1)} & \lambda \end{vmatrix}_{(2n-1) \times (2n-1)}$$

şeklindedir. Bu son determinanтта ilk  $n - 1$  sütun  $(-1)$  ile çarpılıp son sütuna eklenirse

$$Pol(\mathbf{S}(S_n)) = \begin{vmatrix} \lambda I_{n-1} & -I_{n-1} & -\lambda_{(n-1) \times 1} \\ -I_{n-1} & \lambda I_{n-1} & 0_{(n-1) \times 1} \\ 0_{1 \times (n-1)} & -1_{1 \times (n-1)} & \lambda \end{vmatrix}_{(2n-1) \times (2n-1)}$$

elde edilir. Ardından son satır, ilk  $n - 1$  satıra eklenirse

$$Pol(\mathbf{S}(S_n)) = \begin{vmatrix} \lambda I_{n-1} & -I_{n-1} + (-1)_{(n-1) \times (n-1)} & 0_{(n-1) \times 1} \\ -I_{n-1} & \lambda I_{n-1} & 0_{(n-1) \times 1} \\ 0_{1 \times (n-1)} & -1_{1 \times (n-1)} & \lambda \end{vmatrix}_{(2n-1) \times (2n-1)}$$

şeklindeki determinant elde edilir. Bundan sonraki adımda uygun elementer satır-sütun işlemleri uygulanır ve gerekli düzenlemelerin ardından birinci sütuna göre determinant açılırsa

$$Pol(\mathbf{S}(S_n)) = -\lambda \begin{vmatrix} \lambda I_{n-1} & -I_{n-1} + (-1)_{(n-1) \times (n-1)} \\ -I_{n-1} & \lambda I_{n-1} \end{vmatrix}_{(2n-2) \times (2n-2)}$$

elde edilir. Elementer satır işlemlerinden  $\frac{1}{\lambda} R_1 + R_n \rightarrow R_n, \frac{1}{\lambda} R_2 + R_{n+1} \rightarrow R_{n+1}, \dots, \frac{1}{\lambda} R_{n-1} + R_{2n-2} \rightarrow R_{2n-2}$  işlemleri uygulanırsa

$$\begin{aligned} Pol(\mathbf{S}(S_n)) &= -\lambda \begin{vmatrix} \lambda I_{n-1} & -I_{n-1} + (-1)_{(n-1) \times (n-1)} \\ 0_{(n-1) \times (n-1)} & \left(\frac{\lambda^2 - 1}{\lambda}\right) I_{n-1} + \left(-\frac{1}{\lambda}\right)_{(n-1) \times (n-1)} \end{vmatrix}_{(2n-2) \times (2n-2)} \\ &= -\lambda |\lambda I_{n-1}| \cdot \left| \left(\frac{\lambda^2 - 1}{\lambda}\right) I_{n-1} + \left(-\frac{1}{\lambda}\right)_{(n-1) \times (n-1)} \right|_{(n-1) \times (n-1)} \\ &= -\lambda^n \left| \left(\frac{\lambda^2 - 1}{\lambda}\right) I_{n-1} + \left(-\frac{1}{\lambda}\right)_{(n-1) \times (n-1)} \right|_{(n-1) \times (n-1)} \end{aligned}$$

elde edilir. son determinantta elementer sütun işlemlerinden  $C_2 + C_3 + C_4 + \dots + C_{n-1} \rightarrow C_1$  uygulanırsa

$$Pol(\mathbf{S}(S_n)) = -\lambda^n \cdot \begin{vmatrix} \lambda - \frac{n}{\lambda} & -\frac{1}{\lambda} & -\frac{1}{\lambda} & -\frac{1}{\lambda} & \dots & -\frac{1}{\lambda} \\ \lambda - \frac{n}{\lambda} & \lambda - \frac{2}{\lambda} & -\frac{1}{\lambda} & -\frac{1}{\lambda} & \dots & -\frac{1}{\lambda} \\ \lambda - \frac{n}{\lambda} & -\frac{1}{\lambda} & \lambda - \frac{2}{\lambda} & -\frac{1}{\lambda} & \dots & -\frac{1}{\lambda} \\ \lambda - \frac{n}{\lambda} & -\frac{1}{\lambda} & -\frac{1}{\lambda} & \lambda - \frac{2}{\lambda} & \dots & -\frac{1}{\lambda} \\ \vdots & \vdots & \vdots & \vdots & \ddots & \vdots \\ \lambda - \frac{n}{\lambda} & -\frac{1}{\lambda} & -\frac{1}{\lambda} & -\frac{1}{\lambda} & \dots & \lambda - \frac{2}{\lambda} \end{vmatrix}_{(n-1) \times (n-1)}$$

$$= -\lambda^n \left( \lambda - \frac{n}{\lambda} \right) \cdot \begin{vmatrix} 1 & -\frac{1}{\lambda} & -\frac{1}{\lambda} & -\frac{1}{\lambda} & \dots & -\frac{1}{\lambda} \\ 1 & \lambda - \frac{2}{\lambda} & -\frac{1}{\lambda} & -\frac{1}{\lambda} & \dots & -\frac{1}{\lambda} \\ 1 & -\frac{1}{\lambda} & \lambda - \frac{2}{\lambda} & -\frac{1}{\lambda} & \dots & -\frac{1}{\lambda} \\ 1 & -\frac{1}{\lambda} & -\frac{1}{\lambda} & \lambda - \frac{2}{\lambda} & \dots & -\frac{1}{\lambda} \\ \vdots & \vdots & \vdots & \vdots & \ddots & \vdots \\ 1 & -\frac{1}{\lambda} & -\frac{1}{\lambda} & -\frac{1}{\lambda} & \dots & \lambda - \frac{2}{\lambda} \end{vmatrix}_{(n-1) \times (n-1)}$$

elde edilir. Burada ise ilk satır  $-1$  ile çarpılıp ikinci satırdan  $(n - 1)$ . satıra kadar eklenirse

$$Pol(\mathbf{S}(S_n)) = -\lambda^n \left( \lambda - \frac{n}{\lambda} \right) \cdot \begin{vmatrix} 1 & -\frac{1}{\lambda} & -\frac{1}{\lambda} & -\frac{1}{\lambda} & \dots & -\frac{1}{\lambda} \\ 0 & \lambda - \frac{1}{\lambda} & 0 & 0 & \dots & 0 \\ 0 & 0 & \lambda - \frac{1}{\lambda} & 0 & \dots & 0 \\ 0 & 0 & 0 & \lambda - \frac{1}{\lambda} & \dots & 0 \\ \vdots & \vdots & \vdots & \vdots & \ddots & \vdots \\ 0 & 0 & 0 & 0 & \dots & \lambda - \frac{1}{\lambda} \end{vmatrix}_{(n-1) \times (n-1)}$$

determinantına ulaşılır. Bu determinanti birinci sütuna göre açılırsa

$$Pol(\mathbf{S}(S_n)) = -\lambda^n \left( \lambda - \frac{n}{\lambda} \right) \begin{vmatrix} \lambda - \frac{1}{\lambda} & 0 & \cdots & 0 \\ 0 & \lambda - \frac{1}{\lambda} & \cdots & 0 \\ \vdots & \vdots & \ddots & \vdots \\ 0 & 0 & \cdots & \lambda - \frac{1}{\lambda} \end{vmatrix}_{(n-2) \times (n-2)}$$

elde edilir. Elde edilen  $(n - 2) \times (n - 2)$  tipindeki determinant ise üst üçgen matrisin determinantı olup değeri köşegen üzerinde bulunan elemanların çarpımına eşittir. Böylece istenilen

$$Pol(\mathbf{S}(S_n)) = -\lambda(\lambda^2 - 1)^{n-2}(\lambda^2 - n)$$

eşitliği elde edilir.

Teorem 7.1.3.'ün bir sonucu olarak  $\mathbf{S}(S_n)$  grafının spektrumu

$$S(\mathbf{S}(S_n)) = \{0, \mp\sqrt{n}, \mp 1^{(n-2)}\}$$

şeklindedir.

Benzer hesaplamalar  $K_n$  ve  $K_{m,n}$  graflarının alt bölüm grafları için de yapılırsa aşağıdaki sonuçlara ulaşılır:

**Teorem 7.1.4.**  $K_n$ 'in alt bölüm grafi olan  $\mathbf{S}(K_n)$  grafının karakteristik polinomu  $n \geq 1$  için

$$Pol(\mathbf{S}(K_n)) = (-1)^n \lambda^{\frac{n(n-3)}{2}} (\lambda^2 - (n-2))^{n-1} (\lambda^2 - 2(n-1))$$

şeklindedir.

Teorem 7.1.4.'ün bir sonucu olarak  $Pol(\mathbf{S}(K_n))$ 'in kökleri spektrumu vereceğinden  $\mathbf{S}(K_n)$  grafına ait spektrumunun

$$S(\mathbf{S}(K_n)) = \left\{ 0^{\binom{n(n-3)}{2}}, \mp\sqrt{n-2}^{(n-1)}, \mp\sqrt{2(n-1)} \right\}$$

olduğu kolayca görülmektedir.

**Teorem 7.1.5.**  $K_{m,n}$ 'nin alt bölüm grafi olan  $\mathbf{S}(K_{m,n})$  grafının karakteristik polinomu

$$Pol(\mathbf{S}(K_{m,n})) = (-1)^n \lambda^{m+(m-1)(n-2)} (\lambda^2 - (m+n)) (\lambda^2 - m)^{n-1} (\lambda^2 - n)^{m-1}$$

şeklindedir.

Teorem 7.1.5.'in bir sonucu olarak  $\mathbf{S}(K_n)$  grafının spektrumu

$$S(\mathbf{S}(K_{m,n})) = \left\{ 0^{(m+(m-1)(n-2))}, \mp\sqrt{m}^{(n-1)}, \mp\sqrt{n}^{(m-1)}, \mp\sqrt{m+n} \right\}$$

şeklindedir.

## 7.2. Alt Bölüm Grafları için İndirgeme Bağlılıkları

Bir önceki bölümde  $P_n$ ,  $C_n$ ,  $S_n$ ,  $K_n$  ve  $K_{m,n}$  grafları için alt bölüm graflarını oluşturup karakteristik polinomlarını belirlemiştik. Bu bölümde köşe sayısı artan bölüm grafların polinomlarını hesaplamada kolaylık sağlayacak bağıntılar geliştirilecektir.

**Teorem 7.2.1.**  $\mathbf{S}(S_n)$ ,  $n$  köşeli bir yıldız grafın alt bölüm grafi olmak üzere  $Pol(\mathbf{S}(S_n))$  ile  $Pol(\mathbf{S}(S_{n+1}))$  arasında

$$(\lambda^2 - n)Pol(\mathbf{S}(S_{n+1})) = (\lambda^2 - 1)(\lambda^2 - n - 1)Pol(\mathbf{S}(S_n)) \quad n \geq 4$$

şeklinde bir indirgeme bağıntısı vardır.

**İspat.** Teorem 7.1.3.'den  $Pol(\mathbf{S}(S_{n+1})) = -\lambda(\lambda^2 - 1)^{n-1}(\lambda^2 - n - 1)$  şeklinde olduğu bilinmektedir. Buradan hareketle

$$\begin{aligned} Pol(\mathbf{S}(S_{n+1})) &= -\lambda(\lambda^2 - 1)^{n-1}(\lambda^2 - n - 1) \\ &= -\lambda(\lambda^2 - 1)^{n-2}(\lambda^2 - 1)(\lambda^2 - n - 1) \\ &= -\lambda(\lambda^2 - 1)^{n-2}(\lambda^2 - 1)(\lambda^2 - n - 1) \frac{(\lambda^2 - n)}{(\lambda^2 - n)} \\ &= (\lambda^2 - 1) \frac{(\lambda^2 - n - 1)}{(\lambda^2 - n)} \cdot Pol(\mathbf{S}(S_n)) \end{aligned}$$

elde edilir. Gerekli düzenleme yapılarak

$$(\lambda^2 - n)Pol(\mathbf{S}(S_{n+1})) = (\lambda^2 - 1)(\lambda^2 - n - 1)Pol(\mathbf{S}(S_n)) \quad n \geq 4$$

sonucuna ulaşılır.

**Teorem 7.2.2.**  $\mathbf{S}(K_n)$ ,  $n$  köşeli bir tam grafin alt bölüm grafi olmak üzere  $Pol(\mathbf{S}(K_n))$  ile  $Pol(\mathbf{S}(K_{n+1}))$  arasında

$$Pol(\mathbf{S}(K_{n+1})) = -\lambda^{n-1} \frac{(\lambda^2 - 2n)(\lambda^2 - n + 1)^n}{(\lambda^2 - n + 2)^{n-1}(\lambda^2 - 2n + 2)} Pol(\mathbf{S}(K_n)) \quad n \geq 1$$

şeklinde bir indirgeme bağıntısı vardır.

**İspat.** Teorem 7.1.5'ten  $Pol(\mathbf{S}(K_n))$  ve  $Pol(\mathbf{S}(K_{n+1}))$  polinomlarının

$$Pol(\mathbf{S}(K_{n+1})) = (-1)^{n+1} \lambda^{\frac{(n+1)(n-2)}{2}} (\lambda^2 - n + 1)^n (\lambda^2 - 2n)$$

ve

$$Pol(\mathbf{S}(K_n)) = (-1)^n \lambda^{\frac{n(n-3)}{2}} (\lambda^2 - n + 2)^{n-1} (\lambda^2 - 2n + 2)$$



şeklinde oldukları bilinmektedir. Teorem 7.2.1.'in ispatı için uygulanan işlem basamaklarının benzerleri burada da uygulanarak istenilen sonuca kolaylıkla ulaşılmaktadır.

Alt bölüm graflarında polinom indirgeme bağıntısı, son olarak iki parçalı tam grafin alt bölüm grafi olan  $\mathbf{S}(K_{m,n})$  için oluşturulacaktır.

**Teorem 7.2.3.**  $\mathbf{S}(K_{m,n})$ ,  $m + n$  köşeli iki parçalı tam bir grafin alt bölüm grafi olmak üzere  $Pol(\mathbf{S}(K_{m,n}))$  ile  $Pol(\mathbf{S}(K_{m+1,n}))$  arasında

$$Pol(\mathbf{S}(K_{m+1,n})) = \frac{\lambda^{n-1}(\lambda^2-m-n-1)(\lambda^2-m-1)^{n-1}(\lambda^2-n)}{(\lambda^2-m-n)(\lambda^2-m)} Pol(\mathbf{S}(K_{m,n}))$$

şeklinde bir indirgeme bağıntısı vardır.

Buraya kadar alt bölüm operasyonu ile elde edilen yeni grafların polinomları ve bu polinomlar için indirgeme bağıntıları verilmiştir. Burada ise yeni bir alt bölüm operasyonu olan  $r$ -altbölüm işlemi tanımlanacaktır.

**Tanım 7.2.**  $G(V, E)$  bir graf olsun.  $E$  kümesinden bir köşesi  $u$  diğer köşesi  $v$  olan bir  $uv$  kenarı alınsın. Alınan bu  $uv$  kenarı üzerine, her birinin derecesi 2 olacak şekilde,  $r$ - tane yeni köşe eklenerek  $uv$  kenarı  $P_{r+2}$  şekline dönüştürülsün. Bu işlem  $E$  kümesinin tüm elemanlarına uygulanarak oluşturulan yeni grafa  **$r$ -alt bölüm graf** denir ve  $\mathbf{S}^r(G)$  ile gösterilir.

**Teorem 7.2.4.**  $\mathbf{S}^r(P_n)$ ,  $n$  köşeli yol grafin  $r$ -alt bölüm grafi olsun. Bu grafin karakteristik polinomu

$$Pol(\mathbf{S}^r(P_n)) = Pol(P_{n(r+1)-r}) \quad \text{ve} \quad |V(\mathbf{S}^r(C_n))| = n(r+1) - r$$

şeklindedir.

**Teorem 7.2.5.**  $\mathbf{S}^r(C_n)$ ,  $n$  köşeli devir grafın  $r$ -alt bölüm grafi olsun. Bu grafın karakteristik polinomu

$$Pol(\mathbf{S}^r(C_n)) = Pol(C_{n(r+1)}) \quad \text{ve} \quad |V(\mathbf{S}^r(C_n))| = n(r+1)$$

şeklindedir.

### 7.3. Alt Bölüm Grafları için Enerji Bağlılıları

E. Hückel tarafından, bir  $G$  grafının özdeğerlerinin mutlak değerlerce toplamı olarak tanımlanan graf enerjisi kavramı, graf teorisinin alt alanlarından biri olan spektral graf teori için de oldukça önemlidir (Hückel 1933). Ayrıca moleküler hesaplamalarda da oldukça sık başvurulan grafların enerjisi kavramı, bu bölümde yapısal olarak  $K_n$ ,  $S_n$  ve  $K_{m,n}$  graflarına ait alt bölüm graflar için incelenecektir (Cvetkovic ve ark. 1995, Adiga ve ark. 2007).

İlk olarak  $\mathbf{S}(K_n)$  grafının enerji bağıntısı hesaplanacaktır.

**Teorem 7.3.1.**  $E(\mathbf{S}(K_n))$ ,  $\mathbf{S}(K_n)$  grafının enerjisi olmak üzere bu grafın enerjisi

$$E(\mathbf{S}(K_n)) = 2 \left( (n-1)\sqrt{n-2} + \sqrt{2(n-1)} \right)$$

bağıntısı ile hesaplanır.

**İspat.** Teorem 7.1.4.'in bir sonucu olarak  $\mathbf{S}(K_n)$  grafının spektrumu

$$S(\mathbf{S}(K_n)) = \left\{ 0^{\binom{n(n-3)}{2}}, \mp\sqrt{n-2}^{(n-1)}, \mp\sqrt{2(n-1)} \right\}$$

şeklinde verilmiştir. Spektrumun elemanlarının mutlak değerlerinin toplamı alındığında istenilen sonuca kolaylıkla ulaşılır.

İkinci olarak  $\mathbf{S}(S_n)$  grafinin enerji bağıntısı hesaplanacaktır.

**Teorem 7.3.2.**  $E(\mathbf{S}(S_n))$ ,  $\mathbf{S}(S_n)$  grafinin enerjisi olmak üzere bu grafin enerjisi

$$E(\mathbf{S}(S_n)) = 2(n - 2 + \sqrt{n})$$

bağıntısı ile hesaplanır.

**İspat.** Teorem 7.1.3.'ün bir sonucu olarak  $\mathbf{S}(S_n)$  grafinin spektrumu

$$S(\mathbf{S}(S_n)) = \{0, \mp 1^{n-2}, \mp \sqrt{n}\}$$

şeklinde verilmiştir. Spektrumun elemanlarının mutlak değerlerinin toplamı alındığında istenilen sonuca kolaylıkla ulaşılır.

Bu bölümde son olarak ise  $\mathbf{S}(K_{m,n})$  grafi için enerji bağıntısı verilecektir.

**Teorem 7.3.3.**  $E(\mathbf{S}(K_{m,n}))$ ,  $\mathbf{S}(K_{m,n})$  grafinin enerjisi olmak üzere bu grafin enerjisi

$$E(\mathbf{S}(K_{m,n})) = 2(\sqrt{m+n} + (n-1)\sqrt{m} + (m-1)\sqrt{n})$$

bağıntısı ile hesaplanır.

**İspat.** Teorem 7.1.5.'in bir sonucu olarak  $\mathbf{S}(K_{m,n})$  grafinin spektrumu

$$S(\mathbf{S}(K_{m,n})) = \{0^{(m+(m-1)(n-2))}, \mp \sqrt{m}^{(n-1)}, \mp \sqrt{n}^{(m-1)}, \mp \sqrt{m+n}\}$$

şeklinde verilmiştir. Spektrumun elemanlarının mutlak değerlerinin toplamı alındığında istenilen sonuca kolaylıkla ulaşılır.

## **8. BULGULAR, TARTIŞMA VE SONUÇ**

### **8.1. Bulgular**

Bu tezde klasik graf enerjisi ile ilgili dört ana konu incelenmiştir. Bu dört konudan birisinde var olan sonuçlara yenileri eklenmiş, üçünde ise tamamen ilk defa çalışılan yeni sonuçlar elde edilmiştir.

Ele alınan ilk problem grafların spektral (karakteristik) polinomları ile ilgilidir. Bu problem daha önce çeşitli bilim insanları tarafından çalışılmış olup burada varolan sonuçlara yenileri eklenmiştir. Devir, patika, yıldız, tam graflar gibi belli başlı graf sınıflarının karakteristik polinomları hesaplanmış ve bunlar arasında indirgeme bağıntıları elde edilmiştir.

İkinci problemde patika ve devir graflarının graf enerjileri arasında indirgeme bağıntıları elde edilmiştir. Bu tür bir indirgeme bağıntısı yardımıyla örneğin 5 köşeli bir grafın enerjisini bildiğimizde 10 köşeli, 20 köşeli, 40 köşeli, vs. benzer grafların enerjilerini kolayca hesaplamak mümkün olmaktadır.

Üçüncü problemde graf birleşiminin karakteristik polinoma ve grafın enerjisine etkisi hesaplanmıştır.

Dördüncü problemde ise kimyasal uygulamaları olan alt bölme graflarının enerjileri, grafın kendi enerjisi cinsinden hesaplanmıştır.

### **8.2. Tartışma ve Sonuç**

Bu tezde graf enerjisi ile ilgili büyük çoğunluğu yeni ve tümü orijinal sonuçlar elde edilmiştir. Enerji kavramının kimyasal uygulamaları nedeniyle bu tezde bulunan sonuçların hem bu konuda çalışacak matematikçilere, hem de konunun moleküler boyuttaki uygulamalarını yapan kimyacılar faydalı olacağı ve yol göstereceği düşünülmektedir.

Bu tezde elde edilen sonuçlardan hareketle daha ileri çalışmalar da yapılabilir. Örneğin, alt bölme grafları dışındaki diğer türetilmiş grafların enerjileri, ana grafın enerjisi cinsinden hesaplanabilir. Benzer şekilde iki graftan bir işlemle elde edilen yeni bir grafın

enerjisi, bileşen grafların enerjilerine bağı olarak elde edilebilir. Graf enerjisi kavramı diğgr graf enerjileriyle karşılaştırılabilir ve yapılacak mukayese sonucunda hangi uygulamalarda hangi enerji türünün kullanımının avantajlı olduđu belirlenebilir. Diğgr graf türleri için enerji hesabı yapılabilir. Ayrıca graf enerjisi kavramı, diğgr graf kavramlarıyla ilişkilendirilebilir.

## KAYNAKLAR

- Adiga, C., Khoshbakht, Z., Gutman, I., 2007.** More graphs whose energy exceeds the number of vertices, *Iranian Journal of Mathematical Sciences and Informatics*, 2(2), 57-62.
- Balakrishnan, R., Ranganathan, K. 2012.** A Textbook of Graph Theory, Springer, New York., 425 pp.
- Berge, C. 2001.** The Theory of Graphs, Fletcher & Son Ltd., UK.
- Biggs, N. L., Lloyd, E. K., Wilson, R. J. 1986.** Graph Theory 1736-1936, *Oxford University Press, London.*
- Bollobas, B. 1998.** Modern Graph Theory, *Springer, New York.*
- Bondy, J. A., Murty, U. S. R. 2008.** Graph Theory, *Springer, New York.*
- Brouwer, A. E., Haemers, W. H., 2012.** Spectra of Graphs, *Springer, New York.*
- Chen, W. 1976.** Applied Graph Theory, *North-Holland Publishing Company, New York.*
- Cvetkovic, D., Doob, M., Sachs, H., 1995.** Spectra of Graphs - Theory and Applications, *Academic Press, Heidelberg.*
- Çelik, F. 2016.** Graflar ve Enerji. Yüksek Lisans Tezi, Uludağ Üniversitesi, Fen Bilimleri Enstitüsü, Matematik Anabilim Dalı, Bursa.
- Çelik, F., Cangül, İ. N., 2017.** Formulae and Recurrence Relations on Spectral Polynomials of Some Graphs. *Advanced Studies Contemporary Mathematics*, 27 (3): 325-332.
- Çelik, F., Cangül, İ. N., 2018.** Some Recurrence Relations for The Energy of Cycle and Path Graphs. *Proceeding of the Jangjeon Mathematical Society*, 21 (3): 347-355.
- Çelik, F., Cangül, İ. N., 2019.** On the Spectra of Cycles and Paths, *Turkic World of Mathematical Society Journal of Applied and Engineering Mathematics*, 9 (3): 571-580.
- Çelik, F., Şanlı, U., Cangül, İ. N., 2021.** The Spectral Polynomials of Two Joining Graphs: Splices and Links, *Boletim da Sociedade Paranaense de Matemática*, 39: 1-12.
- Çevik, A. S., Gutman, I., Güngör, A. D., Bozkurt, S. B., 2010.** Randic Matrix and Randic Energ, *Communications in Mathematical and in Computer*, 64 (1): 239-250.
- Foulds, L. R. 1992.** Graph Theory Applications, *Springer, New York.*
- Golumbic, M. C., Hartman, I. B. 2005.** Graph Theory, Combinatorics and Algorithms,

*Springer, New York.*

**Gutman, I., 1978.** The Energy of a Graph. *Ber. Math. Statist. Sect. Forshungsz. Graz* 103, 1–22.

**Hückel, E., 1933.** Die freien Radikale der organischen Chemie, *Zeitschrift für Physik* 83, 632-668.

**Harary, F. 1994.** Graph Theory, *Addison-Wesley, USA.*

**Harris, J. M., Hirst, J. L., Mossinghoff, M. J. 2008.** Combinatorics and Graph Theory, *Springer, New York.*

**Li, X., Shi, Y., Gutman, I., 2012.** Graph Energy. *Springer, New York.*

**Nikiforov, V., 2007.** The energy of graphs and matrices. *J. Math. Anal. Appl.* 326, 1472-1475.

**Şanlı, U., Çelik, F., Delen, S., Cangül, İ. N., 2020.** Connectedness Criteria for Graphs by Means of Omega Invariant, *FILOMAT* 34 (2): 1-6

**Togan, M., Yurttas, A., Şanlı, U., Çelik, F., Cangül, İ. N., 2020.** Inverse problem for Bell Index, *FILOMAT* 34 (2): 1-7.

**Walikar, H. B., Ramane, H. S., Hampiholi, P. R., 1999.** On the energy of a graph, in: R. Balakrishnan, H. M. Mulder, A. Vijayakumar (Eds.), Graph Connections, *Allied Publishers, New Delhi*, pp. 120-123.

**West, D. B. 1996.** Introduction to Graph Theory. *Upper Saddle River, Prentice Hall.*

**Yurttas Güneş, A., Togan, M., Çelik, F., Cangül, İ. N., 2019.** Cut Vertex and Cut Edge Problem for the Topological Indices of Graphs, *Journal of Taibah University for Science*, 13 (1): 1175-1183.